

19844-01

IN THE UNITED STATES PATENT AND TRADEMARK OFFICE

In re patent application of

Mahmoud Meribout

Serial No.: 09/976,286

Group Art Unit: Not Yet Assigned

Filing Date: October 15, 2001

Examiner: Unknown

For: **COMPILING METHOD, SYNTHESIZING SYSTEM AND RECORDING MEDIUM**

Assistant Commissioner of Patents
Washington, D.C. 20231



SUBMISSION OF PRIORITY DOCUMENT

Sir:

Submitted herewith is a certified copy of Japanese Application Number 2000-313818
filed on October 13, 2000, upon which application the claim for priority is based.

Respectfully submitted,

A handwritten signature in black ink, appearing to read "Sean M. McGinn".

Sean M. McGinn
Registration No. 34,386

Date: June 17, 2002
McGinn & Gibb, PLLC
Intellectual Property Law
8321 Old Courthouse Road, Suite 200
Vienna, VA 22182-3817
(703) 761-4100
Customer No. 21254

日本国特許庁
JAPAN PATENT OFFICE



別紙添付の書類に記載されている事項は下記の出願書類に記載されている事項と同一であることを証明する。

This is to certify that the annexed is a true copy of the following application as filed with this Office

出願年月日

Date of Application:

2000年10月13日

出願番号

Application Number:

特願2000-313818

出願人

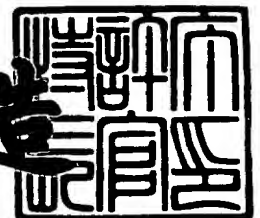
Applicant(s):

日本電気株式会社

2001年 7月27日

特許庁長官
Commissioner,
Japan Patent Office

及川耕造



出証番号 出証特2001-3067126

【書類名】 特許願

【整理番号】 34002084

【提出日】 平成12年10月13日

【あて先】 特許庁長官 殿

【国際特許分類】 G06F 17/50

【発明者】

【住所又は居所】 東京都港区芝五丁目7番1号 日本電気株式会社内

【氏名】 マームド メリブート

【特許出願人】

【識別番号】 000004237

【氏名又は名称】 日本電気株式会社

【代理人】

【識別番号】 100088328

【弁理士】

【氏名又は名称】 金田 暢之

【電話番号】 03-3585-1882

【選任した代理人】

【識別番号】 100106297

【弁理士】

【氏名又は名称】 伊藤 克博

【選任した代理人】

【識別番号】 100106138

【弁理士】

【氏名又は名称】 石橋 政幸

【手数料の表示】

【予納台帳番号】 089681

【納付金額】 21,000円

【提出物件の目録】

【物件名】 明細書 1

特2000-313818

【物件名】 図面 1

【物件名】 要約書 1

【包括委任状番号】 9710078

【プルーフの要否】 要

【書類名】 明細書

【発明の名称】 コンパイル方法および合成装置ならびに記録媒体

【特許請求の範囲】

【請求項 1】 所望の電子回路モデルが所定の高級記述言語で記述された記述ファイルを構文解析して所定のグラフ構造を有する制御データ・フロー・グラフを生成する第 1 のステップと、

前記制御データ・フロー・グラフを、複数の連結されたノードの集合よりなる、特定の機能を果たすスレッドに分割し、該分割したスレッドを所定の面積制約および所定の待ち時間制約と合致するように最適化して、前記電子回路モデルに関する論理セルの数、機能、配置および配線の指定情報を得る第 2 のステップとを含むことを特徴とするコンパイル方法。

【請求項 2】 前記第 2 のステップにおける最適化が、機能ユニット、レジスタ、マルチプレクサのいずれかに関する面積と待ち時間との最低境界を推定することにより行われる請求項 1 に記載のコンパイル方法。

【請求項 3】 前記第 2 のステップにおける最適化が、分割されたスレッドを所定の面積制約と合致するように最適化した後、さらにその最適化されたスレッドを所定の待ち時間制約と合致するように最適化することである請求項 1 に記載のコンパイル方法。

【請求項 4】 前記第 2 のステップは、
前記所定の面積制約および待ち時間制約に基づく最適化を最上位の分割スレッドから順に行うトップ・ダウン処理ステップと、

前記トップ・ダウン・ステップにて最適化された下位の分割スレッドをいくつかのスレッドに分離して所定のコンテキストまたは所定の回路にまとめるダウン・トップ処理ステップとを含む請求項 3 に記載のコンパイル方法。

【請求項 5】 前記トップ・ダウン処理ステップは、
前記制御データ・フロー・グラフを、複数の連結されたノードの集合よりなる、特定の機能を果たすスレッドに分割する第 1 の分割ステップと、

前記第 1 の分割ステップにて分割されたスレッドに対して所定の制御ステップおよび該ステップにおけるスレッドの移動レンジの割り付けを行うとともに、該

制御ステップのおのおのに対して割り付けられたスレッドについて予め設定された複数の優先順位リストに従った優先順位を割り付ける第 1 のスケジューリング・ステップと、

前記第 1 のスケジューリング・ステップによる割り付けが施されたスレッドについてトータル面積を見積り、該トータル面積が所定の面積制約に合致するか否かを判定する第 1 の面積制約判定ステップと、

前記第 1 の面積制約判定ステップにて面積制約に合致しないと判定された場合に、前記第 1 の分割ステップにて分割されたスレッドの全てのスレッド対の組合わせについて面積に関する類似コストを算出する類似コスト算出ステップと、

前記類似コスト算出ステップにて算出された類似コストを参照して、異なる制御ステップに属し、かつ、より高い類似コストを有するスレッド対を前記スレッド対のうちから選択し、該選択したスレッド対を新たなスレッドとして他のスレッドとを組合わせて新たなスレッド対を得る第 1 のアロケーション・ステップと、

前記第 1 のアロケーション・ステップにて得られた新たなスレッド対についてトータル面積を見積って、該トータル面積が所定の面積制約に合致するか否かを判定する第 2 の面積制約判定ステップと、

前記第 2 の面積制約判定ステップにて面積制約に合致しないと判定された場合に、前記複数の優先順位リストに従って、優先順位の低いリストから順に、リストに含まれているスレッドについて、同じ制御ステップに属し、かつ、より高い類似コストを有するスレッド対を選択し、該選択したスレッド対を新たなスレッドとして他のスレッドと組合わせて新たなスレッド対を得るとともに、該新たなスレッド対が割り付けられた制御ステップを同じ内容の 2 つの制御ステップに細分化するアロケーション・スケジューリング・ステップと、

前記第 1 または第 2 の面積制約判定ステップにて面積制約に合致した場合に、前記第 1 のアロケーション・ステップまたはアロケーション・スケジューリング・ステップにて得られた新たなスレッド対について、前記面積制約と前記所定の待ち時間制約とのトレードオフを調べ、両制約に合致するように、ノードの配置および配線を行うスレッド処理ステップとを含み、

前記ダウン・トップ処理ステップは、

前記スレッド処理ステップにて配置配線されたスレッドについて、前記複数の優先順位リストに従って、優先順位の高いリストから順に、そのリストに含まれているスレッドのうちの類似性が低いスレッド対を選択して分離する第2のスケジューリング・ステップと、

前記第2のスケジューリング・ステップにて分離されたスレッド対を、そのスレッドの間の結合性制約が最小となるようなコンテキストまたは回路にまとめる第2の分割ステップとを含む請求項4に記載のコンパイル方法。

【請求項6】 前記スレッド処理ステップにおける所定の時間制約が、前記制御ステップにおけるスレッドの移動範囲を条件として規定した移動レンジ制約、前記制御ステップにおけるスレッドの時間的な重なり合いを条件として規定したスレッド共有制約、前記制御ステップを並列に実行するパイプライン処理の1つのループに属するスレッドの待ち時間を条件として規定したパイプライン制約の3つの制約である請求項5に記載のコンパイル方法。

【請求項7】 前記スレッド処理ステップは、

前記第1のアロケーション・ステップまたはアロケーション・スケジューリング・ステップにて得られた新たなスレッド対に、前記移動レンジ制約、スレッド共有制約、およびパイプライン制約の1つに合致しないスレッド対がある場合は、該スレッド対について、それら制約に合致する最小スレッド面積を持つ解を見出すスレッド調整ステップと、

前記スレッド調整ステップにて得られたスレッド対について、所定の結合性制約に基づいて遅延が最大となるクリティカルパスを調べてノードをクラスタにまとめ、所定のクロックサイクルより長い待ち時間を持つスレッドがある場合は、該スレッド中に挿入されるレジスタの数を求め、該レジスタのタイミングをとることで最小面積を推定し、前記所定の待ち時間制約に合致する解を見出すスレッド最適化ステップとを含む請求項5に記載のコンパイル方法。

【請求項8】 前記スレッド最適化ステップは、

前記スレッド調整ステップにて得られたスレッド対について、各スレッドのノードの近さを表わした近さマトリクスを計算するステップと、

前記近さマトリクスに基づいてノードをグループ化してノードクラスタツリーを作成するステップと、

前記クラスタツリーの各ノード対の結合性メトリクスに基づいて遅延が最大となるクリティカルパスを探索するステップと、

前記クラスタツリーの各ノード対を、前記クリティカルパスに属しているか否かでグループ化して基本ブロックとし、さらに該基本ブロックを最も近いもの同士でグループ化してマクロブロックとするステップとを含む請求項 7 に記載のコンパイル方法。

【請求項 9】 前記スレッド調整ステップおよびスレッド最適化ステップにおける解を見出すステップが、対応する面積と遅延を有する所定のパラメータの設定が可能な機能ユニットの集合を供給するライブラリとの結合により行われる請求項 7 に記載のコンパイル方法。

【請求項 10】 第 1 の分割ステップにて分割されるスレッドは、連結ノード群の少なくとも 1 つの分岐の深さが所定のしきい値を超える場合に、同じ I/O ポートを共有している 2 つの連続するメモリまたは I/O アクセスの間に見出されるブロックとして、またはユーザーにより導入される明示状態機械として、あるいは前記制御データ・フロー・グラフの分岐結合ノードとして定められることを特徴とする請求項 5 に記載のコンパイル方法。

【請求項 11】 連続する I/O アクセスの間に見出される前記スレッドは、前記制御ステップにメモリアクセスを含むループがある場合に、該ループの繰り返し中にメモリ並列が存在するかどうかを決定するループ拡張従属性が与えられることを特徴とする請求項 10 に記載のコンパイル方法。

【請求項 12】 前記第 2 のステップにおける最適化に、面積および遅延の評価のためのレイアウトメトリクスを用いることを特徴とする請求項 1 に記載のコンパイル方法。

【請求項 13】 前記電子回路モデルが、所定数の基本素子で構成されるハードウェアセルよりなる請求項 1 に記載のコンパイル方法。

【請求項 14】 前記ハードウェアセルが、特定用途集積回路、フィールド・プログラマブル・ゲート・アレイ、または動的再構成可能論理のいずれかであ

る請求項 1 3 に記載のコンパイル方法。

【請求項 1 5】 所望の電子回路モデルが所定の高級記述言語で記述された記述ファイルを構文解析して所定のグラフ構造を有する制御データ・フロー・グラフを生成するフロント・エンド・コンパイラー手段と、

前記制御データ・フロー・グラフを、複数の連結されたノードの集合よりなる、特定の機能を果たすスレッドに分割し、該分割したスレッドを所定の面積制約および所定の待ち時間制約と合致するように最適化して、前記電子回路モデルに関する論理セルの数、機能、配置および配線の指定情報を得るバック・エンド・コンパイラー手段とを有することを特徴とする合成装置。

【請求項 1 6】 前記バック・エンド・コンパイラー手段は、機能ユニット、レジスタ、マルチプレクサのいずれかに関する面積と待ち時間との最低境界を推定することにより前記最適化を行うように構成されていることを特徴とする請求項 1 5 に記載の合成装置。

【請求項 1 7】 前記バック・エンド・コンパイラー手段は、前記制御データ・フロー・グラフを、複数の連結されたノードの集合よりなる、特定の機能を果たすスレッドに分割する第 1 の分割手段と、

前記第 1 の分割手段にて分割されたスレッドに対して所定の制御ステップおよび該ステップにおけるスレッドの移動レンジの割り付けを行うとともに、該制御ステップのおののに対して割り付けられたスレッドについて予め設定された複数の優先順位リストに従った優先順位を割り付ける第 1 のスケジューリング手段と、

前記第 1 のスケジューリング手段による割り付けが施されたスレッドについてトータル面積を見積り、該トータル面積が所定の面積制約に合致するか否かを判定する第 1 の面積制約判定手段と、

前記第 1 の面積制約判定手段にて面積制約に合致しないと判定された場合に、前記第 1 の分割手段にて分割されたスレッドの全てのスレッド対の組合わせについて面積に関する類似コストを算出する類似コスト算出手段と、

前記類似コスト算出手段にて算出された類似コストを参照して、異なる制御ステップに属し、かつ、より高い類似コストを有するスレッド対を前記スレッド対

のうちから選択し、該選択したスレッド対を新たなスレッドとして他のスレッドとを組合わせて新たなスレッド対を得る第 1 のアロケーション手段と、

前記第 1 のアロケーション手段にて得られた新たなスレッド対についてトータル面積を見積って、該トータル面積が所定の面積制約に合致するか否かを判定する第 2 の面積制約判定手段と、

前記第 2 の面積制約判定手段にて面積制約に合致しないと判定された場合に、前記複数の優先順位リストに従って、優先順位の低いリストから順に、リストに含まれているスレッドについて、同じ制御ステップに属し、かつ、より高い類似コストを有するスレッド対を選択し、該選択したスレッド対を新たなスレッドとして他のスレッドと組合わせて新たなスレッド対を得るとともに、該新たなスレッド対が割り付けられた制御ステップを同じ内容の 2 つの制御ステップに細分化するアロケーションスケジューリング手段と、

前記第 1 または第 2 の面積制約判定手段にて面積制約に合致した場合に、前記第 1 のアロケーション手段またはアロケーションスケジューリング手段にて得られた新たなスレッド対について、前記面積制約と前記所定の待ち時間制約とのトレードオフを調べ、両制約に合致するように、ノードの配置および配線を行うスレッド処理手段と、

前記スレッド処理手段にて配置配線されたスレッドについて、前記複数の優先順位リストに従って、優先順位の高いリストから順に、そのリストに含まれているスレッドのうちの類似性が低いスレッド対を選択して分離する第 2 のスケジューリング手段と、

前記第 2 のスケジューリング手段にて分離されたスレッド対を、そのスレッドの間の結合性制約が最小となるようなコンテキストまたは回路にまとめる第 2 の分割手段とを有することを特徴とする請求項 1 5 に記載の合成装置。

【請求項 1 8】 前記所定の時間制約が、前記制御ステップにおけるスレッドの移動範囲を条件として規定した移動レンジ制約、前記制御ステップにおけるスレッドの時間的な重なり合いを条件として規定したスレッド共有制約、前記制御ステップを並列に実行するパイプライン処理の 1 つのループに属するスレッドの待ち時間を条件として規定したパイプライン制約の 3 つの制約である請求項 1

7 に記載の合成装置。

【請求項 1 9】 前記スレッド処理手段は、所定の面積と遅延を有する所定のパラメータの設定が可能な機能ユニットの集合を供給するライブラリとの結合により、前記ノードの配置および配線を行うことを特徴とする請求項 1 7 に記載の合成装置。

【請求項 2 0】 前記電子回路モデルが、所定数の基本素子で構成されるハードウェアセルよりなる請求項 1 5 に記載の合成装置。

【請求項 2 1】 前記ハードウェアセルが、特定用途集積回路、フィールド・プログラマブル・ゲート・アレイ、または動的再構成可能論理のいずれかである請求項 2 0 に記載の合成装置。

【請求項 2 2】 所望の電子回路モデルが所定の高級記述言語で記述された記述ファイルを構文解析して所定のグラフ構造を有する制御データ・フロー・グラフを生成する処理と、

前記制御データ・フロー・グラフを、複数の連結されたノードの集合よりなる、特定の機能を果たすスレッドに分割し、該分割したスレッドを所定の面積制約および所定の待ち時間制約と合致するように最適化して、前記電子回路モデルに関する論理セルの数、機能、配置および配線の指定情報を得る処理とをコンピュータに実行させるプログラムを記録した記録媒体。

【発明の詳細な説明】

【0 0 0 1】

【発明の属する技術分野】

本発明は、計算機支援用設計（C A D）に関し、特には、高級記述言語によるハードウェアモデルの記述が可能な、コンパイル方法および合成装置に関する。さらには、そのようなコンパイル方法を実現するプログラムを記録した記録媒体に関する。

【0 0 0 2】

また、本発明は、特定用途向け集積回路（A S I C : Application Specific Integrated Circuit）、現場でプログラム可能なゲートアレイ（F P G A : Field Programmable Gate Array）、および動的再構成可能な論理（D R L : Dyna

mic Reconfigurable Logic) を含む種々の超大規模集積回路 (V L S I : Very Large Scale Integration) 技術に関する。

【 0 0 0 3 】

【従来の技術】

高水準回路記述によるハードウェアを合成する装置が一般に知られている。この種の合成装置は、高品質の結果を提供するとともに、設計に際してユーザーに周知の高級言語による記述を提供し、それによって構造的な複雑さからユーザーを解放する。このような合成装置に用いられるコンパイラーは、種々のコストを効率的に用いながら、周知のスケジューリング、アロケーションを実行することにより高いスループットのハードウェアを達成するという利点を有する。

【 0 0 0 4 】

超大規模集積回路 (V L S I) の設計では、ゲートをどのようにして相互に接続するか仕様を伴った、例えばAND、OR、NOT、FLIP-FLOPなどの2進機能を実行するゲートの集合体を用いられる。そして、設計を適切な技術で作製に適した形に変換するのにレイアウト・ツールが用いられる。このような設計では、「スキマチック・キャプチャ (Schematic Capture)」として知られている既知の手法が使用される。この設計手法によれば、ユーザーは、図形ソフトウェア・ツールを用いて、ライブラリから論理ゲートまたはゲートの集合体を取り出して配置し、コンピュータマウスを用いて配線を「描く」ことにより、それらゲートを相互に接続することができる。その後で、例えばゲートを除去或は単純化することによって、回路全体の機能を変更することなく得られた回路を最適化し、その最適化された回路をレイアウト用および作製用に提示することができる。

【 0 0 0 5 】

しかし、上記の設計手法では、設計者は、全て或は殆ど全てのゲート或はゲートの集合体についての論理とタイミングを考慮しなければならない。そのため、この手法を大規模な設計に使用することは困難であり、また、使用した場合にはエラーを生じやすい。

【 0 0 0 6 】

別の設計技術として、設計者がL S I回路の記述をハードウェア記述言語（HDL）で書くものがある。このHDLにおける記述は、最終設計におけるゲートに対応しており、その入力ソース・コードは最終設計における論理的複雑さと比較して比較的短い。従って、設計者に対する設計の論理的複雑さが軽減される。このようなHDLとしては、IEEE Standard VHDL Language Reference Manual, IEEE Std 1076-1993, IEEE, New York, 1993に開示されたHDL、およびD.E.Thomas and P.R.MoorbyによりThe Verilog Hardware Description Language, Kluwer Academic 1995に開示されたVerilogがある。このような言語をS.CarlsonによりIntroduction to HDL-Based Design Using VHDL, Synops Inc., CA, 1991（以下、文献1と称す。）に開示されたような適切な合成ツールとともに用いることにより、設計を回路に変換する。

【0007】

【発明が解決しようとする課題】

上述したHDLを用いた合成技術を用いて新たなVLSI回路を設計する場合には、以下のような問題を考慮する必要がある。

【0008】

第1の問題は、シミュレーション時間が長いことである。この問題の解決策は、ディスクまたはランダム・アクセス・メモリ（RAM）に保存されている回路に対して、ベクトルとして知られている入力設定を用いたテストをコンパイルし実行するために、標準コンパイラを備えるC. A. ワークステーションとして知られるものが用いられるような、適切な高級プログラミング言語で、ソフトウェア技術者が回路をとらえられるようにすることである。そして、次ステップで、ハードウェア技術者が、前述の参考文献1に開示されている「VHDL Register Transfer Level（RTL）」のようなハードウェア合成およびシミュレーションのために、より適切な言語でCコードを書き換えるようにする。しかし、その場合、CバージョンとHDLバージョンとの間は直接関連付けられていないので、HDLの記述にエラーが生じることがあり、そのために、この段階でのテストが重要となる。

【0009】

第2の問題は、ループ展開または定数伝搬／変数伝播のような典型的なコンパイラにより供給される高レベル最適化技術の欠如である。この問題は、単一の集積回路におけるトランジスタの数の増加およびオンチップシステム技術の出現にともない、Verilogコードの増加のために一層悪化することになる。これは、手動による最適化を行うために、ユーザーに長い時間を費やすことを強いる結果となる。

【0010】

上述の問題から、抽象概念のレベルの向上が必要とされており、その対応する技術として高位合成（HLS）がある。既知のHLSツールとしては、I. Page and W. LuckによりCompiling Occam into FPGAs, 271-283, Abingdon EE and CS books, 1991に開示されているようなハンデル（Handel）コンパイラおよびハンデルCコンパイラを有するものがある。ハンデル・コンパイラは、例えばInmos, The Occam 2 Programming Manual, Prentice-Hall International, 1988に開示されているような、オッカムとして知られている言語で書かれたソースコードを受けとる。オッカムは、Cに類似する言語であるが、並列処理および指定されたチャネルを介した同期2点間通信を表現するための余分な構成を有する。ハンデルCコンパイラもほとんど同一であるが、原子言語が若干異なり、Cに慣れたプログラマにとって馴染み易いものとなっている。たとえば、プログラマは、各構成のタイミングの全体の制御を行う。各構成には、正確なサイクル数が割り当てられる（これは、時間付き意味規則（Timed Semantics）と呼ばれている。）。それゆえ、プログラマは、設計に際して全ての低レベル並列処理を考慮しなければならない、コンパイラが各構成をクロックサイクルにどのようにして割り当てていくかを知っていなければならない。

【0011】

しかし、全ての割り当てにはちょうど1サイクルかかるので、単一サイクルで起こるようにするには、両方の乗算を必要とする。これは、2つの乗算器が形成されなければならないことを意味し、面積を余分に要する。また、それらの乗算器は単一のサイクルで動作しなければならないので、クロックの速度が遅くなる。

【0012】

上記問題を解決するコンパイラとして、抽象化のレベルをより一層高めたものがいくつか提案されている。それらのツールの多くは、最初にHLSを実行し、次いでハードウェア・アプリケーション・ネットリスト・ファイルを発生するといった連続的な設計手法を採用する。しかし、この場合は、利用可能な目的ハードウェアの面積またはアプリケーションのスループット仕様に適合しないことがある。そのような場合、設計フローの初めに正確なコンフィグレーション・オーバーヘッドおよびレイアウト・メトリクス（レイアウト指標）を提供できず、また初期の設計段階から設計の決定を撤回できないために、適切な解が見出されるまで処理が何回か繰り返される。

【0013】

レイアウト・メトリクスを使用して上記処理の問題を解決した手法が提案されている。例えば、1999年3月10日にスコットランドのグラスゴウで開催された、再構成可能システムについてのIEEE専門家会議、ダイジェストNo. 99/061に記載された、M. Vasilco、D. JibsonおよびS. Holloway著の「Towards a Consistent Design Methodology for Run-time Reconfigurable Systems」と題する論文、およびP. Lysaght著の「Towards an Expert System for a Priori Estimation of Reconfiguration Latency in Dynamically Reconfigurable Logic」（183～193ページの[3]）により開示されている。しかし、それらにおいて、メトリクス（指標）の正確な見積もりを行うには、設計アーキテクチャおよび構成スケジュール毎に設計モジュールの配置および詳細な配線が要求される。これは非常に簡単な設計であるが、非現実的であり、この理由から、それらのツールのほとんどが機能ユニット（FU）モデルのみを使用するものとなっている。このことは、より高い最適化を行う場合に、一層扱いづらいものとなり、以下のような困難な条件が要求されることとなる。

【0014】

（1）面積／スループットの機能分担を最適にするために、各FUで実行されるように結合した効率的なライブラリを必要とする。なお、アプリケーションのいくつかの部分が高速乗算器を要することがあるが、他の部分は低速乗算器で十

分である。

【 0 0 1 5 】

(2) コードプログラム全体を共用する、すなわち、目的 V L S I 回路における基本ハードウェアセルの数の最大境界が与えられる効率的な F U を求める必要がある。これは、高いスループットを発生するために使用される各種 F U の最適な数である。

【 0 0 1 6 】

(3) C A D ツールのほとんどは F U レベルで共用するハードウェアを考えて、マルチプレクサ用の大きなハードウェアを取っておく必要がある。これは、それらのマルチプレクサの価格が高いために、特に D R L / F P G A 回路にとって重要である。

【 0 0 1 7 】

本発明の目的は、上述したような各問題を解決し、プログラマに馴染みの深い高級記述言語による電子回路モデルの記述が可能で、より正確なコスト見積もりを行うことができる、コンパイル方法および合成装置を提供することにある。

【 0 0 1 8 】

本発明のさらなる目的は、そのような設計を実行可能なプログラムを記録した記録媒体を提供することにある。

【 0 0 1 9 】

【課題を解決するための手段】

上記目的を達成するため、本発明のコンパイル方法は、所望の電子回路モデルが所定の高級記述言語で記述された記述ファイルを構文解析して所定のグラフ構造を有する制御データ・フロー・グラフを生成する第 1 のステップと、前記制御データ・フロー・グラフを、複数の連結されたノードの集合よりなる、特定の機能を果たすスレッドに分割し、該分割したスレッドを所定の面積制約および所定の待ち時間制約と合致するように最適化して、前記電子回路モデルに関する論理セルの数、機能、配置および配線の指定情報を得る第 2 のステップとを含むことを特徴とする。

【 0 0 2 0 】

上記の場合、前記第 2 のステップにおける最適化が、機能ユニット、レジスタ、マルチプレクサのいずれかに関する面積と待ち時間との最低境界を推定することにより行われてもよい。

【 0 0 2 1 】

また、前記第 2 のステップにおける最適化が、分割されたスレッドを所定の面積制約と合致するように最適化した後、さらにその最適化されたスレッドを所定の待ち時間制約と合致するように最適化するようにしてもよい。

【 0 0 2 2 】

さらに、前記第 2 のステップは、前記所定の面積制約および待ち時間制約に基づく最適化を最上位の分割スレッドから順に行うトップ・ダウン処理ステップと、前記トップ・ダウン・ステップにて最適化された下位の分割スレッドをいくつかのスレッドに分離して所定のコンテキストまたは所定の回路にまとめるダウン・トップ処理ステップとを含んでいてもよい。

【 0 0 2 3 】

上記の場合、前記トップ・ダウン処理ステップは、前記制御データ・フロー・グラフを、複数の連結されたノードの集合よりなる、特定の機能を果たすスレッドに分割する第 1 の分割ステップと、前記第 1 の分割ステップにて分割されたスレッドに対して所定の制御ステップおよび該ステップにおけるスレッドの移動レンジの割り付けを行うとともに、該制御ステップのおののに対して割り付けられたスレッドについて予め設定された複数の優先順位リストに従った優先順位を割り付ける第 1 のスケジューリング・ステップと、前記第 1 のスケジューリング・ステップによる割り付けが施されたスレッドについてトータル面積を見積り、該トータル面積が所定の面積制約に合致するか否かを判定する第 1 の面積制約判定ステップと、前記第 1 の面積制約判定ステップにて面積制約に合致しないと判定された場合に、前記第 1 の分割ステップにて分割されたスレッドの全てのスレッド対の組み合わせについて面積に関する類似コストを算出する類似コスト算出ステップと、前記類似コスト算出ステップにて算出された類似コストを参照して、異なる制御ステップに属し、かつ、より高い類似コストを有するスレッド対を前記スレッド対のうちから選択し、該選択したスレッド対を新たなスレッドとして

他のスレッドとを組合わせて新たなスレッド対を得る第1のアロケーション・ステップと、前記第1のアロケーション・ステップにて得られた新たなスレッド対についてトータル面積を見積って、該トータル面積が所定の面積制約に合致するか否かを判定する第2の面積制約判定ステップと、前記第2の面積制約判定ステップにて面積制約に合致しないと判定された場合に、前記複数の優先順位リストに従って、優先順位の低いリストから順に、リストに含まれているスレッドについて、同じ制御ステップに属し、かつ、より高い類似コストを有するスレッド対を選択し、該選択したスレッド対を新たなスレッド対として他のスレッドと組合わせて新たなスレッド対を得るとともに、該新たなスレッド対が割り付けられた制御ステップを同じ内容の2つの制御ステップに細分化するアロケーション・スケジューリング・ステップと、前記第1または第2の面積制約判定ステップにて面積制約に合致した場合に、前記第1のアロケーション・ステップまたはアロケーション・スケジューリング・ステップにて得られた新たなスレッド対について、前記面積制約と前記所定の待ち時間制約とのトレードオフを調べ、両制約に合致するように、ノードの配置および配線を行うスレッド処理ステップとを含み、前記ダウン・トップ処理ステップは、前記スレッド処理ステップにて配置配線されたスレッドについて、前記複数の優先順位リストに従って、優先順位の高いリストから順に、そのリストに含まれているスレッドのうちの類似性が低いスレッド対を選択して分離する第2のスケジューリング・ステップと、前記第2のスケジューリング・ステップにて分離されたスレッド対を、そのスレッドの間の結合性制約が最小となるようなコンテキストまたは回路にまとめる第2の分割ステップとを含むようにしてもよい。

【0024】

本発明の合成装置は、所望の電子回路モデルが所定の高級記述言語で記述された記述ファイルを構文解析して所定のグラフ構造を有する制御データ・フロー・グラフを生成するフロント・エンド・コンパイラ手段と、前記制御データ・フロー・グラフを、複数の連結されたノードの集合よりなる、特定の機能を果たすスレッドに分割し、該分割したスレッドを所定の面積制約および所定の待ち時間制約と合致するように最適化して、前記電子回路モデルに関する論理セルの数、

機能、配置および配線の指定情報を得るバック・エンド・コンパイラー手段とを有することを特徴とする。

【 0 0 2 5 】

上記の場合、前記バック・エンド・コンパイラー手段は、機能ユニット、レジスタ、マルチプレクサのいずれかに関する面積と待ち時間との最低境界を推定することにより前記最適化を行うように構成されてもよい。

【 0 0 2 6 】

また、前記バック・エンド・コンパイラー手段は、前記制御データ・フロー・グラフを、複数の連結されたノードの集合よりなる、特定の機能を果たすスレッドに分割する第 1 の分割手段と、前記第 1 の分割手段にて分割されたスレッドに対して所定の制御ステップおよび該ステップにおけるスレッドの移動レンジの割り付けを行うとともに、該制御ステップのおのおのに対して割り付けられたスレッドについて予め設定された複数の優先順位リストに従った優先順位を割り付ける第 1 のスケジューリング手段と、前記第 1 のスケジューリング手段による割り付けが施されたスレッドについてトータル面積を見積り、該トータル面積が所定の面積制約に合致するか否かを判定する第 1 の面積制約判定手段と、前記第 1 の面積制約判定手段にて面積制約に合致しないと判定された場合に、前記第 1 の分割手段にて分割されたスレッドの全てのスレッド対の組み合わせについて面積に関する類似コストを算出する類似コスト算出手段と、前記類似コスト算出手段にて算出された類似コストを参照して、異なる制御ステップに属し、かつ、より高い類似コストを有するスレッド対を前記スレッド対のうちから選択し、該選択したスレッド対を新たなスレッドとして他のスレッドとを組合わせて新たなスレッド対を得る第 1 のアロケーション手段と、前記第 1 のアロケーション手段にて得られた新たなスレッド対についてトータル面積を見積って、該トータル面積が所定の面積制約に合致するか否かを判定する第 2 の面積制約判定手段と、前記第 2 の面積制約判定手段にて面積制約に合致しないと判定された場合に、前記複数の優先順位リストに従って、優先順位の低いリストから順に、リストに含まれているスレッドについて、同じ制御ステップに属し、かつ、より高い類似コストを有するスレッド対を選択し、該選択したスレッド対を新たなスレッドとして他のスレ

ッドと組合わせて新たなスレッド対を得るとともに、該新たなスレッド対が割り付けられた制御ステップを同じ内容の２つの制御ステップに細分化するアロケーション・スケジューリング手段と、前記第１または第２の面積制約判定手段にて面積制約に合致した場合に、前記第１のアロケーション手段またはアロケーション・スケジューリング手段にて得られた新たなスレッド対について、前記面積制約と前記所定の待ち時間制約とのトレードオフを調べ、両制約に合致するように、ノードの配置および配線を行うスレッド処理手段と、前記スレッド処理手段にて配置配線されたスレッドについて、前記複数の優先順位リストに従って、優先順位の高いリストから順に、そのリストに含まれているスレッドのうちの類似性が低いスレッド対を選択して分離する第２のスケジューリング手段と、前記第２のスケジューリング手段にて分離されたスレッド対を、そのスレッドの間の結合性制約が最小となるようなコンテキストまたは回路にまとめる第２の分割手段とを有する構成としてもよい。

【 0 0 2 7 】

本発明の記録媒体は、所望の電子回路モデルが所定の高級記述言語で記述された記述ファイルを構文解析して所定のグラフ構造を有する制御データ・フロー・グラフを生成する処理と、前記制御データ・フロー・グラフを、複数の連結されたノードの集合よりなる、特定の機能を果たすスレッドに分割し、該分割したスレッドを所定の面積制約および所定の待ち時間制約と合致するように最適化して、前記電子回路モデルに関する論理セルの数、機能、配置および配線の指定情報を得る処理とをコンピュータに実行させるプログラムを記録したことを特徴とする。

【 0 0 2 8 】

上記のとおりの本発明は、ハードウェアシステムに対する新しいＣＡＤ設計技術を提供する。その主要な点は、高レベル合成ツールと低レベル合成ツールの間のギャップを埋めることにある。入力言語を高レベルでプログラマになじんだものにでき、かつハードウェアにおいて理解できる表現を有する重要な構成のほとんどをサポートできる。

【 0 0 2 9 】

本発明においては、まず、比較的高いレベルで最適化が行われ、制御データフログラフ（C D F G）が出力される。そして、C D F Gは、スレッドと呼ばれる、結合されたノードの独立したクラスタに分割される。このやり方により、スケジューリング、アロケーションおよび分割が、単一オペレーションレベルではなくて、スレッドレベルで行われことになる。これは、特にF U遅延がユーザークロックサイクルより比較的短い場合に、高いスループットをシステムに与えることに加えて、H L Sの複雑さを減ずる。また、そのようなスレッドのおのののに対して、コンパイラの最上ステージの間に、F U、レジスタおよびマルチプレクサについて面積および待ち時間の最低境界推定を同時に行える。さらに、その最後のステージの間に、配置配線コストとを考慮することにより、より正確なコスト見積もりを行える。

【 0 0 3 0 】

また、本発明によれば、高い性能／面積のトレードオフを達成するために、ライブラリ結合が効率的に行われる。

【 0 0 3 1 】

さらに本発明では、スレッドは、少なくとも1つの分岐の深さが所定のしきい値を超えている場合に、結合されているノードにより形成されて、I Oポートを共用している2つの連続するメモリアクセスまたはI Oアクセスの間に見出されるブロックとして、またはユーザーにより導入される明示機械として、あるいは制御グラフのフォークジョインノードとして定められる。そして、スレッドは、最初の分割中に抽出される。これにより、単純なノードではなくて、スレッドの群に高レベル合成が適用されることになり、コンパイラ実行時間を短縮することが可能になる。更に、そのような独立したスレッドは、ライブラリの結合、配置配線中に効率良く利用される。

【 0 0 3 2 】

また、本発明では、各スレッドに対して面積／待ち時間のトレードオフを考慮するとともに、ライブラリの結合と近さ（c l o s e n e s s）とのコストが加えられる。配線長を最も短くするために、スレッド処理中に近さの距離が調べられる。これは、配線遅延がハードウェアセルの遅延よりも一層重要であることか

ら、超サブミクロン技術に特に有効である。

【0033】

また、本発明におけるフロント・エンド・コンパイラーでは、待ち時間の計算にハードウェアセル、レジスタ、マルチプレクサの遅延を考慮することが可能である。設計フロー・ツールの最終段階において、クリティカルパスを考慮することにより、遅延制約に関する確度が高くなる。

【0034】

さらに、設計に用いるコストとしては、一致性 (concurrency) 条件、類似性条件、結合性 (connectivity) 条件、および分岐条件を用いることが可能である。本発明では、これらのコストが反復的に用いられることで、処理の効率化が図られる。ここで、アロケーション中に、一致性コスト／パイプラインコストにしたがって、システムのスループットに円滑に影響を及ぼさせるようにするのが類似性である。その後で、チップの間の相互接続を最小にするために、またはDRLの場合にレジスタの数を減少するために、結合性メトリク (connectivity metric) が用いられる。

【0035】

さらに本発明では、制御ステップを各スレッドに割り付けるにあたって、スレッドは優先度リストにしたがって配置される。そして、スレッドの移動レンジ、スレッド生存期間、分岐条件、並列スレッド、パイプライン化されたスレッドとが条件として考慮されて最適化が行われる。

【0036】

ハードウェアセルの数が十分でないとした場合は、類似性コストが計算される。対応するデータ構造をマトリクスで構成することができる。スレッドが2つ以上のFUを共用する場合、アロケーションにより、マルチプレクサの数を最小にすることができ、その結果、スレッド待ち時間が短くなる。

【0037】

アロケーションには、マルチプレクサまたは種々のコンテキストを使用することができる。また、アロケーションは、同じセグメントステップに属していないスレッドに対してのみ実行される。

【 0 0 3 8 】

アロケーションスケジューリングは、設計装置のスループットを徐々に増加するために用いられる。このアロケーションスケジューリングでは、最低優先度リストに属し、かつ最高類似性メトリクスを有するスレッドが実行される。その後で、対応する制御ステップが2つに分割される。そして、面積が見積もられ、そのリストの全ての要素が処理されるまでプロセスが繰り返される。このアロケーションスケジューリングの後に、スレッド処理が行われる。面積を更に減少して、ループに属し、かつ待ち時間制約に合致しないスレッドに対するハードウェアパイプラインを最終的に発生する。これは、スレッド調整と、スレッド最適化との2つのステップを含む。スレッド調整では、面積／遅延評価のためにハードウェアセルモデルと、マルチプレクサモデルと、レジスタモデルとを使用することができ、これにより、全てのスレッドの待ち時間制約が確保される。

【 0 0 3 9 】

タイミング解析には、各スレッドの待ち時間を正確に評価するためにE l m o r e 遅延モデルを使用することが可能である。待ち時間制約に合致しないものは、求められている数のレジスタをそのノードの間に挿入することによって分割される。この段階で、待ち時間制約に合致する間に、面積を更に減少するために、ライブラリ結合が実行される。ライブラリ結合では、同じ種類のF U の種々のバージョンを使用することができる。これは、他の高レベル合成システムに対しては明らかなタスクではないため、その場合には同じ種類のF U が一般に用いられる。

【 0 0 4 0 】

【発明の実施の形態】

次に、本発明の実施形態について図面を参照して説明する。

【 0 0 4 1 】

図1は、本発明のコンパイル方法を適用した高レベル設計フローの一例を示す。この高レベル設計フローは、コンピュータを使用して回路設計を行うシステム(C A D)において行われる処理であり、破線で囲まれた部分が論理合成を行うシステム1 0 7における処理を示す。この合成システム1 0 7における処理は、

A S I C、F P G Aなどの回路またはD R Lなどの論理回路の作成に適用することができる。

【 0 0 4 2 】

まず、ユーザー 1 0 1 が、高水準入力記述ファイル 1 0 2 を入力して、対話処理（人間が端末を介して計算機に指示を与えながら問題解決を行うデータ処理）を行う。高水準入力記述ファイル 1 0 2 はテキスト形式であって、その記述には J a v a、C、またはC++などの既存の高級言語を用いることができる。また、この高水準入力記述ファイル 1 0 2 は、そのような言語には含まれないいくつかのハードウェア拡張を支援することができる。

【 0 0 4 3 】

図 2 に、そのようなハードウェア拡張例を示す。図 2（a）、（b）に示すハードウェア拡張 2 0 1、2 0 4 は、上述の高水準入力記述ファイル 1 0 2 中に記述される、ハードウェア拡張を支援するための記述である。ここでは、一例として I O ポート仕様 2 0 2、メモリ仕様 2 0 3、明示状態機械挿入 2 0 5、ビットレベル操作 2 0 6 のハードウェア拡張例が示されている。I O ポート仕様 2 0 2 では、変数 c と x が回路の入力ポートと出力ポートにそれぞれ割り当てられる。この場合、ピン番号割り当ても支援することができる。メモリ仕様 2 0 3 では、変数 d 1 と d 2 が 9 ビットデータ幅の二次元メモリに割り当てられる。明示状態機械挿入 2 0 5 では、条件付き変数 c が 1 に等しい場合には、1 アイドル・サイクルが変数 x を決定する前に挿入され、等しくない場合には、後に挿入さる。この拡張では、相互タスク同期機構を特徴とする、J a v a のような言語は要求されない。ビット・レベル操作 2 0 6 では、ビット・レベルの指定が可能となっている。

【 0 0 4 4 】

フロント・エンド・コンパイラー 1 0 3 は、パラメータを持つ機能と機能呼出しを伴う表現を含むほとんど全ての言語構文を処理することができる。よって、このフロント・エンド・コンパイラー 1 0 3 の処理により、そのような言語に既に慣れているソフトウェア開発者の作業を容易にし、しかも、ソフトウェア開発者に対して、ハードウェアに関する十分な知識が要求されることもない。また

、フロント・エンド・コンパイラ 1 0 3 は、入力記述ファイル 1 0 2 を構文解析してその中間フォーマットである制御データ・フロー・グラフ (C D F G) 1 0 4 を出力する。

【 0 0 4 5 】

バック・エンド・コンパイラ 1 0 5 は、フロント・エンド・コンパイラ 1 0 3 によって構文解析されたデータ構造に最適化などの処理（詳しくは、後述する）を施して、ハードウェア・アプリケーション・ネットリスト・ファイル 1 0 6 を生成する。このバック・エンド・コンパイラ 1 0 5 は、インタフェースでサーバーと接続された、モジュールライブラリ 1 1 0 を含むマネジャーの役割を果たす。ハードウェア・アプリケーション・ネットリスト・ファイル 1 0 6 は、使用されている論理セルの数、それらの機能、配置および配線要求などの指定情報を含む。さらに、このファイル 1 0 6 は、マルチ・コンテキスト D R L およびマルチ・チップ・ハードウェアのそれぞれの場合において、それらの割り付けられたコンテキストまたはチップの情報を含む。モジュールライブラリ 1 1 0 は、対応する面積と遅延を有する、各種のパラメータの設定が可能な機能ユニット (F U) の集合を供給する。

【 0 0 4 6 】

上記バック・エンド・コンパイラ 1 0 5 における最適化処理では、ハードウェア制約 1 0 9 (面積制約) 及び時間制約 1 0 8 (待ち時間制約) が考慮される。例えば、図 1 に示した設計フローにおいて、生成した全ハードウェア量（例えばセル、処理装置、またはトランジスタの数）が利用可能なハードウェアの量以下の場合に、ハードウェア制約 1 0 9 が確認され、また、生成したサイクル数が要求される数以下の場合に時間制約 1 0 9 が確認される。

【 0 0 4 7 】

図 3 に、図 1 に示した設計フローを適用できる各種 L S I 回路を示す。

【 0 0 4 8 】

図 3 (a) は、A S I C または F P G A のデバイスの構成を示す模式図である。図 3 (a) において、A S I C または F P G A のデバイス 3 0 1 は、制御バス 3 0 2 と、データ・バス 3 0 3 と、任意の埋め込みメモリ 3 0 4 との組み合わせ

により構成される。

【0049】

図3（b）は、DRLの構成を示す模式図である。図3（b）において、動的DRL305は、基準構成を含む複数のコンテキスト306a～306dとアクティブ・プラン307とで構成されている。この構成では、1度に1つのコンテキストがアクティブ状態となる。

【0050】

図3（c）は、マルチ・チップ回路の構成を示すブロック図である。図3（c）において、マルチ・チップ回路308は、相互接続ネットワーク310を介して相互に接続された複数の回路309から構成されている。

【0051】

以上説明した本形態の高レベル設計フローは、例えば図4に示すような汎用コンピュータ装置を用いて実現することができる。図4において、汎用コンピュータ装置400は、図形情報とテキスト情報を表示するための図形スクリーン401を備える図形表示モニタ402と、情報のテキスト入力のためのキーボード403と、コンピュータ・プロセッサ404と、コンパイル・プログラムを記録した記録媒体405からなる。コンピュータ・プロセッサ404は、キーボード403および表示モニタ401に接続されている。本例では、コンピュータ・プロセッサ404に、記録媒体405から上述した高レベル設計フローを実現するためのプログラム・コードが与えら、これによる後述する種々のコンパイル処理が実行される。この汎用コンピュータ装置400には、メインフレーム・コンピュータ、ミニ・コンピュータ、パーソナル・コンピュータなど、良く知られている種々のタイプのコンピュータを用いることが可能である。記録媒体405は、磁気ディスク、半導体メモリ、その他の記録媒体であってよい。

【0052】

次に、バック・エンド・コンパイラ105における処理について詳細に説明する。

【0053】

図5は、バック・エンド・コンパイラ105における処理の流れを示すフロ

ーチャート図である。このバック・エンド・コンパイラー 1 0 5 における処理は、2 つのフェーズ、すなわち、トップ・ダウン・フェーズ 5 0 2 と、ダウン・トップ・フェーズ 5 0 3 とに分けることができる。

【 0 0 5 4 】

トップ・ダウン・フェーズ 5 0 2 では、まず、いくつかの性質を特徴とする結合ノードを独立スレッドに分類するために、第 1 の分割であるスレッド抽出 5 0 4 の処理が行われる。ここで、結合ノードは、グラフにおける枝によって接続されたノードであり、スレッドは、それら結合ノードの独立クラスタ（複数の連結ノードの集合よりなる、特定の機能を果たすモジュールの組み合わせ）である。スレッドが抽出されると、続いて、その抽出されたスレッドについて、面積制約が合致するまで、スケジューリング 5 0 5、スレッド類似性 5 0 6、アロケーション 5 0 7、アロケーション・スケジューリング 5 0 8 の処理が段階的に行われ、これにより最適化が行われる。これら各段階の処理については、後述の実施例で詳細に説明する。

【 0 0 5 5 】

上記の最適化が行われた後、得られたスレッドのそれぞれは、独立したやり方で、低位合成モジュールであるスレッド処理 5 0 9 をモジュール・ライブラリー 5 1 2 から呼び出すことによって処理される。このスレッド処理 5 0 9 では、図 1 に示した時間制約 1 0 8 が確認される。この処理の目的は、待ち時間制約が各スレッド毎に合致することを保証することにある。このタスクは、レイアウト・レベルでの面積／コストの指標を使用するので、正確である。

【 0 0 5 6 】

他方、ダウン・トップ・フェーズ 5 0 3 では、スレッド処理された各スレッドについて、システムのスループットを一層増大するための処理が行われる。すなわち、このダウン・トップ・フェーズ 5 0 3 では、第 3 のスケジューリング 5 1 0 にて、上述のトップ・ダウン・フェーズ 5 0 2 の第 2 のスケジューリング 5 0 8 にて組合わされたいくつかのスレッドを分離する処理が行われ、最後に、第 2 の分割 5 1 1 にて、その分離されたスレッドを D R L 用の種々のコンテキスト、またはマルチチップ・ハードウェア用の種々の回路にまとめる処理が行われる。

【 0 0 5 7 】

<<実施例>>

次に、上述のバック・エンド・コンパイラーの処理について、さらに詳細に説明する。ここでは、より動作を分かり易くするため、マルチスレッド・アプリケーションを考慮した実際のやり方について説明する。

【 0 0 5 8 】

図 6 に、映像および音声のデータの入出力が可能な記憶装置を構成する目的ハードウェアの構成例とそれに関する複数のアプリケーションの記述例を示す。この図 6 の例は、映像処理アプリケーションと音声処理アプリケーションとの組合わせを考慮した例である。第 1 のアプリケーションである動作推定 6 0 1 と、第 2 のアプリケーションである 2-D 有限インパルス (FIR) フィルタ 6 0 2 とは、同時に実行することが可能である。第 3 のアプリケーションである自己相関フィルタ 6 0 3 は、音声信号上に自己相関を適用する。全ての入力データは、8 ビット幅となることが前提とされる。バック・エンド・コンパイラーの処理の目的は、最小のハードウェアで可能な限り高いスループットを達成することである。この例では、目的ハードウェア 6 0 4 は、12 個の入力ポートと 3 つの出力ポートを有しており、各アプリケーションに関して、4 つの入力データを同時に処理することができる。

【 0 0 5 9 】

以下、前述の図 5 におけるバック・エンド・コンパイラーの処理を上記図 6 の構成例に適用した場合の各処理について具体的に説明する。

【 0 0 6 0 】

(第 1 の分割)

第 1 の分割であるスレッド抽出 5 0 4 では、C D F G から結合ノード群であるスレッドが抽出される。このスレッドは、結合ノード群より形成されたブロックとして定義され、少なくとも 1 つの分岐の深さが所定のしきい値を超えた場合に、同じ I O ポートを共有している 2 つの連続するメモリまたは I O アクセスと、ユーザーにより導入される明示状態機械と、明示スレッド・プロセスと、制御グラフの分岐結合ノードとに基づいて抽出される。この処理により抽出されるスレ

ッドは、その大きさ（連結ノードの数）により以下のような条件とすることが望ましい。

【 0 0 6 1 】

（a）ハードウェア合成（技術マッピング、配置および配線）の低位部分の時間的複雑さを減ずるよう、スレッドは十分に小さくする。その理由は、I/Oアクセスがプログラム、特にマルチメディア・アプリケーションにおいて頻繁に起きるためである。

【 0 0 6 2 】

（b）単一の操作よりむしろ、スレッドの最適化を行うことによりHLSの高位部分の時間的複雑さを減ずるよう、スレッドは十分に大きくする。これは、一連の複数の操作を同時に行うことによって、プロセッサ/DSPよりもFPGAに対する利点を高める。その理由は、それら複数の操作に加えて、同時に起こるI/Oアクセスを同じスレッドにまとめるようにASIC、FPGAおよびDRLのいくつかのI/Oポートを含むためである。加えて、十分な数のレジスタが目的VLSI回路によって提供されるために、中間変数が外部メモリよりはむしろ内部レジスタに保存されるからである。更に、前述した本形態の設計ツールはそれらの中間変数の寿命時間を減少するのに役立つからである。

【 0 0 6 3 】

メモリアクセスを含むループの場合には、繰り返し中にメモリ並列が存在するかどうかを決定するために、データおよびループ拡張従属性が与えられなければならない。この目的は、メモリ並列を調べるために静的アクセスの特定をヒング（hings on）することにある。これは、一緒に頻繁にアクセスされるデータをメモリ、すなわち、タイル（tiles）を横切って分配することにより行われる。この場合、アレイは低順位のインターリーブ順位（主記憶を同時にアクセス可能な複数個のモジュールに分割して構成する場合にモジュールを横切ってアドレスをつけるインターリーブにおける各モジュールの順位に相当する。）で一様に配列される。つまり、データ構造の連続要素が、連続するタイルを横切ってラウンドロビン法でインターリーブされる。このレイアウトは、空間的な閉アレイ・アクセスが仮に閉じられるので望ましい。次に、コードを変換して並列アク

セスを可能にするために、ループが繰り返される。

【0064】

図7に、上述の図6の例を図5の処理に適用した時の、タイルを横切るメモリ分配の結果を示す。入力フレームメモリ701、702および入力音声メモリ703、704に対して4つのタイルが得られる。入力フレームメモリ701、702、入力音声メモリ703、704は、図6に示した入力フレームメモリ611、612、入力音声メモリ613、614にそれぞれ対応する。

【0065】

図8に、結果として得られた3つのスレッドを示す。スレッド801、802、803はそれぞれ図6に示した動作推定601、有限インパルス(FIR)フィルタ602、自己相関フィルタ603の各アプリケーションに対応する。これらスレッド801、802、803は、それぞれ図6に示した目的ハードウェア604の「Diff」、「Out」、「Result」の出力とされ、それぞれ出力フレームメモリ615、616、617に格納される。

【0066】

(第1のスケジューリング)

次に、上述の第1の分割で抽出されたスレッドについて、第1のスケジューリングが行われる(図5の505の処理)。この目的は、各スレッドにそのASAP(As Soon As Possible)制御ステップ値およびその移動レンジを割り付けることにある。設計フローの更なる考慮のために、優先順位で配置されているスレッドのリストがそれらのステップのおおのにおに割り付けられる。たとえば、以下のような優先リストを考慮した割り付けができる。

【0067】

(a) プリスト1：所定のしきい値(実時間IOアクセスのような)を超えない移動レンジを持つスレッドのリストである。

【0068】

(b) プリスト2：活性が所定のしきい値より小さくないスレッドからなる。

【0069】

(c) プリスト3：ループに属するスレッドを含み、その先行値は既にスケジ

ユーラされている。

【0070】

(d) プリスト4：分岐条件に対応するスレッドのリストである。

【0071】

(e) プリスト5：ユーザーにより明示的に定められたパイプライン／並行スレッドから構成されている（javaにおけるマルチスレッディング）。

【0072】

(f) プリスト6：すぐ後に続く要素を有するスレッドのリストである。

【0073】

(g) プリスト7：残りのスレッドを構成する。

【0074】

まず、現在の制御ステップ中の全てのノードに対してスケジュール処理を施すためにプリスト1が考慮される。さもなければ、それらの移動度を遅らせることはスケジューリングを引き伸ばすことになる。したがって、移動度は良い優先関数と考えられる。

【0075】

次に、さらなるスレッドをロードする。より迅速なハードウェア可用性にすることによって、再構成オーバーヘッドを減少するためにプリスト2がDRL回路に独占的に考慮される。また、高い優先度では、先行値が既にスケジュールされているループのストリームがスケジュールされる。これは、中間レジスタの数を減少するため、および同じループ内のコンテキスト・スイッチを減少するために行われる。次に、分岐条件に対応する条件が解決される。これは、それらの分岐のノードをスケジューリングするより多くの選択肢を与える。

【0076】

図9に、図5の例に適用した場合のアルゴリズムの結果を示す。音声処理のサンプリング・レートがビデオ信号のそのp倍であると仮定する。その場合、実際のステップが異なると、スレッド1および2の移動度レンジが1クロック・サイクルであるので、スレッド1および2はプリスト1において同じ順位で順位付けされる。その他、スレッド3がプリスト7に加えられる（図9）。

【0077】

(類似性コスト)

第1のスケジューリング(図5の505)が行われた後にトータル面積が見積もられ、見積もったトータル面積が面積制約に合致するかが判定され、合致した場合は、十分なハードウェアセルであるとして後述するスレッド処理が行われ、合致しなかった場合は、スレッド対の全ての組合わせに対して類似メトリクス(図5の506)が計算される。そして、マトリクス、類似マトリクスが推測される。コストは、次の処理のいずれかにより最良の組合わせを達成した後の得られる面積の削減に対応する。

【0078】

(a) 2つの異なるスレッドの対を組合わせる。このコストは、第1のアロケーション(図5の507)、またはアロケーションスケジューリング(図5の508)の間のいずれかで用いられる。

【0079】

(b) 同じスレッドを分割する。対応するコストが、その後続くコンパイラのステップの間に用いられるたびに更新される。この場合は、アロケーションスケジューリング(図5の508)の間に独占的に考慮される。

【0080】

ここで、類似コストについて、さらに具体的に説明する。面積としてエリア1、エリア2をそれぞれ有する2つのスレッド1、2について考える。この場合の類似コストは、

$$\text{類似コスト} = \text{エリア1} + \text{エリア2} - \text{エリア12}$$

である。ここで、エリア12は、スレッド1とスレッド2を結合した後の、結果としての面積である。他方、同じスレッド1を分割する場合の類似コストは、

$$\text{類似コスト} = \text{エリア1} + \text{新エリア1}$$

である。ここで、新エリア1は、スレッドの分割後に得られた新しい面積である。図5の例を参照し、各ビットの動作が1つのハードウェアセルにより行われると仮定すると、図8に示したスレッド801、スレッド802、スレッド804の面積は、それぞれ71、449、71となる。

【 0 0 8 1 】

図 1 0 に、図 6 に示した例についての第 1 のスケジューリング結果を示す。この例は、スレッド 1 とスレッド 2 を結合したものであり、その類似コストは目的 V L S I 回路に大きく依存する。その理由は、マルチプレクサによって要求されるハードウェアの量が、他の演算／論理 F U の量と比較した場合に、A S I C に対する場合よりも、D R L / F P G A 回路に対する方がより重要であるからである。A S I C の場合には、ハードウェアを一層削減できる。

【 0 0 8 2 】

(第 1 のアロケーション)

類似コストを用いて、第 1 のアロケーション (図 5 の 5 0 7) が行われる。その役割は、制御ステップ間で F U の最大数を共有することにある。これは、マルチプレクサの数およびコードサイズを削減するという利点があり、埋め込みアプリケーションにとって重要である。その原理は、異なるステップに属し (同時性に影響しないようにするために)、かつ、より高い類似コストを有するスレッドの対を類似マトリクスから選択し、それらを新しいスレッドと組み合わせることである。そして、その対は、面積制約に合致するまで、または異なる制御ステップに属する全てのスレッド対が処理されるまで繰り返されるプロセス、およびマトリクスから除去される。類似ノードの降下順によるそれら対の考慮には、全体の面積をより良く調べるという利点がある。そして、D R L 回路の場合には、図 1 1 (a)、(b) に示すような 2 つのアロケーションの形態をとることが可能である。結果として得られるスレッド対は、マルチプレクサ 1 1 0 1 を用いてそれらのスレッドの類似ブロックを共用でき、あるいはコンテキストスイッチを用いた 2 種類のコンテキスト 1 1 0 2 としてマップできる。後者の場合は、マルチプレクサが使用されないため、面積および待ち時間の表現において、より高い性能を提供できる。しかし、制限付きコンテキスト数に関して、次のようないくつかの制約が適用される。

【 0 0 8 3 】

(a) スレッド間の結合性 :

高結合スレッドは、同じコンテキストでマップされるために一層良い。ところ

が一方、低く相互に結合されたものは異なるコンテキストにマップされる。これは、レジスタの使用を最少にするためである。

【0084】

(b) マルチプレクサによって生じる遅延時間を削減するための同じパス中のばらばらの類似ブロックの数。

【0085】

(c) コンテキスト・スイッチを避けてそのようなことが頻繁に生じるためのスレッド間の制御ステップの数。

【0086】

(アロケーションスケジューリング)

上記第1のアロケーション(図5の507)のアルゴリズムが面積制約に十分に合致しなかった場合には、アロケーションスケジューリング508が、同じ制御ステップに割り当てられているスレッド上で実行される。その後、新しいステップが徐々に作られる。

【0087】

まず、初めに、最も低い優先度(Pリスト7)を持つリストに属し、かつ最も高い類似メトリクスを持つスレッドが実行される。そして、対応する制御ステップが2つの制御ステップに細分化される。面積が見積もられ、そのリストの全ての要素が処理されるまでプロセスが繰り返される。次の優先度リスト(Pリスト6)に属するスレッドが同様に処理される。このような処理が、最も高い優先度リスト(Pリスト1)が処理されるまで繰り返される。

【0088】

ここで、重要なことは、1つのスレッドが選択されると、ただ1つの追加状態が対応する制御ステップに挿入されることである。すなわち、リストを考慮する場合、最高優先度のリストに属するスレッドの間では、スレッドの共有は許されない。

【0089】

図12に、図5の例に適用した場合の、上記コンパイラのアロケーションスケジューリングの段階の結果を示す。

【 0 0 9 0 】

図 1 2 (a) は、第 1 の反復結果 (面積 = 4 8 1) である。スレッド 8 0 3 ' は、P リスト 7 に属するので、最初を選択される。この選択されたスレッド 8 0 3 ' が最良の類似コストを表わすスレッド 8 0 2 ' と組合わされて新しいスレッド 1 2 0 1 を構成する。対応するスケジューリング 1 2 0 2 では、新しい状態 1 2 0 3 が挿入される。

【 0 0 9 1 】

図 1 2 (b) は、上記第 1 の反復に続く第 2 の反復の結果 (面積 = 3 6 8) である。この反復中、P リスト 1 が考慮される。類似コスト・マトリクスによれば、最良の類似コストは (スレッド 2 , スレッド 3 ') である。対応するスレッド 1 2 0 4 は、より少ないハードウェアで済む。この場合、スケジューリング 1 2 0 5 のような制御ステップのスケジュールとなる。

【 0 0 9 2 】

図 1 2 (c) は、上記第 2 の反復に続く第 3 の反復の結果 (面積 = 3 2 1) である。この反復では、スレッド 1 が P リスト 1 から次の候補として実行され、スレッド 1 2 0 4 と組合わされて、スレッド 1 2 0 6 を発生する。この場合、スケジューリング 1 2 0 7 のような制御ステップのスケジュールとなる。

【 0 0 9 3 】

(スレッド処理)

この作業は、2 つの主ステップに細分化される。まず、後述のスレッド調整中に、待ち時間 / 面積のトレードオフが各スレッド毎に調べられる (第 1 のステップ) 。このとき、F U、レジスタ、マルチプレクサの各遅延を考慮する。スレッド最適化と呼ばれる第 2 のステップは、各スレッドを、配線分布が最適となる方法で、目的ハードウェアの相関的な位置に物理的にマップする。この段階の低位合成では、配線遅延情報を取り入れることができる。

【 0 0 9 4 】

(1) スレッド調整 (第 1 のステップ) :

この段階では、各スレッドは、それらスレッドを待ち時間制約と合致させるために、独立した方法で処理される。具体的には、図 1 3 に示すような、次の 3 つ

の異なるケースで取り扱われる。

【0095】

(a) 移動レンジ制約：

例えば、図13 (a) に示す移動レンジ制約1301では、スレッド1303の待ち時間 ($t_{k2} - t_{k1}$) は、その移動レンジ1302のそれより小さくなくてはならない。

【0096】

(b) スレッド共有制約：

図13 (b) に示すスレッド共有制約1304では、いくつかのFUを共有するスレッドは、時間的に重なり合ってはならない。スレッド1305とスレッド1306が、いくつかのFUを共有し、かつ、($t_{k2} - t_{k1}$) と ($t_{k4} - t_{k3}$) がそれらの待ち時間をそれぞれ表しているものと仮定する。そして、スレッド調整は、($t_{k2} - t_{k1}$) が ($t_{k4} - t_{k3} + t_{Mob}$) より小さくなるように確実にしなければならない。ここで、 t_{Mob} はスレッド1306の移動レンジである。

【0097】

(c) パイプライン制約：

図13 (c) に示すパイプライン制約1308では、ループに属するスレッド1309の待ち時間は、所定の値を超えてはならない。この制約は、各スレッドに対するパイプライン段階の数を最少にするために用いられる。

【0098】

図14は、スレッド調整のフローチャート図である。まず、スレッドが実行される(1402の処理)。その待ち時間が上記制約の1つに合致しない場合(1403の処理)、アルゴリズムがそのような制約に合致する最小スレッド面積に対応する最良の解を見出す。これは、ライブラリ結合により行われる(1404の処理)。これと同じ操作が、全てのスレッドに対して行われる(1405の処理)。最後に、結果としての全体の面積が見積もられ(1406の処理)、それが利用可能なハードウェア面積よりも大きい場合には、図5に示したアロケーション507およびアロケーションスケジューリング508が実行される。この処理は、面積／待ち時間制約に合致するまで、組合わせ操作によって影響を受け

る全てのスレッドについて繰り返される。各スレッドのサイズが比較的小さいために、ライブラリ結合が速く達成される。

【0099】

(2) スレッド最適化 (第2のステップ)

ここでの目的は、効率的なやり方で各スレッドのノードの間の配置および配線を行うこと、および各スレッドの面積／待ち時間メトリクスの正確さを向上することである。

【0100】

図15に、スレッド最適化のフローチャート図を示す。まず、スレッドが実行される(1502の処理)。その独特の優先度として結合性制約を用いて、アルゴリズムが各スレッドのクリティカルパス(LSIの回路ブロックの入力端子から出力端子までの全信号経路の中で、信号伝搬遅延が最大となる経路のこと。)を調べ、ノード・クラスタリング(パターン空間に類似性の尺度を導入してパターンの標本ベクトルを似たものどうし集めて類に分けること。)フェーズの間にそのノードをクラスター(各層は複数のユニットで構成され、入力層以外の層は通常複数のクラスターと呼ばれるユニットの集団に分割されている。)にまとめる(1503の処理)。待ち時間が1クロック・サイクルより長いスレッドの場合には、スレッドに挿入すべきレジスタの数がその後で演算される。その後、ライブラリ結合を通じて、スレッド面積を一層小さくするために(1505の処理)、レジスタ・リタイミングが実行される(1504の処理)。この作業は、最小面積に対応し、待ち時間制約に合致する解が見出されるまで、繰り返される(1506の処理)。

【0101】

以下に、ノード・クラスタリングおよびレジスタ・リタイミングの処理を簡単に説明する。

【0102】

(a) ノード・クラスタリング:

この段階の主な目的は、最適なやり方でノードをグループ化することにある。データパス回路に以下のような階層を定める。

【0103】

(a-1) 基本ブロック：ユニットセルのクラスタ。セルはローカル相互接続ネットワークを介して相互に接続されるので、それは低い伝播遅延（論理回路の入力パルスに対する出力パルスの平均の遅れ）の属性を持つ。

【0104】

(a-2) マクロブロック：近似基本ブロック (closest elementary block) の集合。伝播遅延制約に依存して、それらの基本ブロックは同期レジスタを介して相互に接続できる。

【0105】

アルゴリズムは、スレッドの最もクリティカルなパスに属するノードのサーチを開始する。また、アルゴリズムは、最大限の結合性を持つ2つのノードを近似性測定マトリクス (closeness measure matrix) から選択して、それらをいくつかの制約に依存する、同じ基本ブロック、同じマクロブロック、または異なるマクロブロックに配置する。

【0106】

ここで、クラスタリング手順について説明する。

【0107】

ノード群をどの階層にマップするかを決定するために、いくつかの条件、例えば次の諸条件について考える。

【0108】

- ・ C1：クリティカルパスに属する2つのノード。

【0109】

- ・ 面積制約の検証：

C21：基本ブロック面積。

【0110】

C22：マクロブロック面積。

【0111】

C23：全目的VLSI回路面積。

【0112】

・ C 2 : 2 つのノードの間の通信は、所定のしきい値を超えている。

【 0 1 1 3 】

その後で、ノードを次のようなブロックにまとめる。

【 0 1 1 4 】

・ 基本ブロック :

クリティカルパスに属している高く相互接続されたノード、または既にマップされている対で十分な余地がある場合に、

$[C1 \text{ AND } C21 \text{ AND } C3] \text{ OR } [\text{NOT } C1 \text{ AND } \text{NOT } C21]$

の条件で与えられる。

【 0 1 1 5 】

・ マクロブロック :

クリティカルパスに属していない非常に相互接続されているノード、または十分な余地がない場合に

$[\text{NOT}(C1) \text{ AND } C3] \text{ OR } [C1 \text{ AND } \text{NOT } (C21)]$

の条件で与えられる。

【 0 1 1 6 】

・ 異なるマクロブロック :

2 つのノードの間の通信が所定のしきい値より小さく、再構成可能回路の面積または 1 つのマクロブロックのいずれもが全体のスレッドをサポートできない場合に、

$[\text{NOT } (C4) \text{ AND } (\text{NOT } (C22) \text{ OR } \text{NOT } (C29))]$

の条件で与えられる。

【 0 1 1 7 】

以上により、高く相互接続されたノードを局部的にまとめることにより配線の全長および配線の複雑さを最適に減ずることができる。

【 0 1 1 8 】

以上のことを、図 1 2 に示したスレッド 1 2 0 6 を例にして、具体的に説明する。図 1 6 ~ 1 8 に、図 1 2 に示したスレッド 1 2 0 6 のノードクラスターリングの対応する結果を示す。まず、図 1 6 に示すように、スレッド 1 2 0 6 の全ての

ノードがラベル v_i ($i = 1 \sim 19$) で割り付けられ、クリティカルパス 1 6 0 2、1 6 0 3 が見出される。その後で、図 1 8 に示すようなクラスタツリー 1 6 0 5 を構成するために、図 1 7 に示すようなマトリクス 1 6 0 4 が計算される。このツリーは、組合わせ操作の優先順位を表す。最も近似していることが見出されたノード v_{17} と v_{18} が、基本ブロック 1 6 0 7 にマップすべき第 1 のペア候補を構成する。その最後の段階で、アルゴリズムが 3 つのマクロブロック 1 6 0 6 と、6 つの基本ブロック 1 6 0 7 を生成する。

【0 1 1 9】

(b) レジスタ・リタイミング (レジスタ再時間調整)

このタスクでは、待ち時間 t_h がクロックサイクル周期 t_c より長いスレッドに対して排他的に行われる。その場合、フロアー (x) が、待ち時間が t_c より長いスレッドのパスの数 C_p および x に近い最小整数を表す場合に、挿入されるべきレジスタの数は 1 0 である。そして、種々の組合わせを行うことによって、レジスタ・タイミングが最小面積を推定するためにとられる。

【0 1 2 0】

たとえば、 $t_c = 60 \text{ ns}$ であると仮定し、図 1 9 に示すような各ノードの遅延を考える。スレッドの待ち時間は、クリティカルパスの待ち時間であり、それは、

$$t_c = t_{v7} + t_{v7.6} + t_{v6} + t_{v3.6} + t_{v3} + t_{v3.16} + t_{v16.17} + t_{v17} + t_{v17} + t_{v17} + t_{v17} + t_{v17} + t_{v18} + t_{v18} + t_{v18} + t_{v19} + t_{v19} + t_{v19} = 86.5 \text{ ns}$$

に等しい。分割の数または挿入すべきレジスタの数は 1 0 である。そして、レジスタ・リタイミングの 3 つの組合わせ 1 7 0 2、1 7 0 3 および 1 7 0 4 が推定される。ここで、組合わせ 1 7 0 2 は「 $v_{16} \cdot v_{17} \cdot v_{18}$ 」と「 $v_3 \cdot v_6 \cdot v_7$ 」の組み合わせであり、組合わせ 1 7 0 3 は「 $v_{16} \cdot v_{17}$ 」と「 $v_{18} \cdot v_3 \cdot v_6 \cdot v_7$ 」の組み合わせであり、組合わせ 1 7 0 4 は「 $v_{16} \cdot v_{17} \cdot v_{18} \cdot v_3$ 」と「 $v_6 \cdot v_7$ 」の組み合わせである。各組合わせ毎に、ライブラリ結合が、待ち時間制約に合致するように全ての FU に対して実行される。最小面積は、最適解として維持される。

【0121】

(第3のスケジューリング)

スレッド処理の結果として、レジスタ・リタイミング段階中に、全体の面積を推定可能である。第3のスケジューリング510が、回路のスループットを徐々に増加するように行われる。これは、第2のスケジューリング508におけるアルゴリズムに類似するが、逆のやり方で優先度リストを用いる点でそれとは異なる。すなわち、この第3のスケジューリングでは、まず、最高優先度リスト（P l i s t 1）から、類似性が低いスレッド対を選択する。そして、そのようなりすに属するスレッドが、その対応するグループから分離される。これと同様のプロセスが、全てのリストに対して繰り返される。

【0122】

(第2の分割)

次に、コンテキストへのスレッドの分割（図5の511）が行われる。これは、D R Lまたはマルチチップ回路に適用される。アルゴリズムは、シミュレートされたアニーリングをベースとしており、スレッドの間の結合性制約を最小にする包括的な解を提供する。2つのスレッドの間の結合性コストは、それらの間の共通変数の数であって、D R Lの場合におけるコンテキストの間のデータを復元するために用いられるレジスタの数、またはマルチチップ回路の場合におけるオフ・チップ相互接続の数である。

【0123】

以上の説明は、図1に示したシステム107のバック・エンド・コンパイラ105の処理を各処理部毎に説明したものである。図5に処理として示したブロックが、それぞれバック・エンド・コンパイラ105の各処理部に対応する。

【0124】

【発明の効果】

以上説明したように、本発明によれば、プログラマに馴染みの深い高級記述言語による電子回路モデルの記述が可能であり、より正確なコスト見積もりを行うことができ、高品質の設計結果を提供することができる。

【図面の簡単な説明】

【図 1】

本発明のコンパイル方法の一実施形態である高レベル設計フローの一例を示すフローチャート図である。

【図 2】

(a)、(b) は、高水準入力記述ファイルの一例を示す図である。

【図 3】

図 1 に示す設計フローに用いられる L S I 回路の例を示すブロック図である。

【図 4】

図 1 に示す高レベル設計フローを適用する汎用コンピュータ装置の一構成例を示すブロック図である。

【図 5】

図 1 に示すバック・エンド・コンパイラにおける処理の流れを示すフローチャート図である。

【図 6】

映像および音声のデータの入出力が可能な記憶装置を構成する目的ハードウェアの構成例とそれに関する複数のアプリケーションの記述例を示す図である。

【図 7】

図 6 に示す目的ハードウェアおよびアプリケーションを図 5 に示す処理に適用した時のタイルを横切るメモリ分配の結果を示す図である。

【図 8】

図 6 の例に対するスレッド抽出結果を示す図である。

【図 9】

図 6 の例に対する類似性コスト測定結果を示す図である。

【図 1 0】

図 6 の例に対する第 1 のスケジューリング結果を示す図である。

【図 1 1】

(a)、(b) は、D R L の場合における F U 共用のアロケーション形態を示す模式図である。

【図 1 2】

(a) ～ (c) は、図 6 の例に対するアロケーションスケジューリング結果を段階的に示す図である。

【図 1 3】

(a) は移動レンジ制約を模式的に示す図、(b) はスレッド共有制約を模式的に示す図、(c) はパイプライン制約を模式的に示す図である。

【図 1 4】

スレッド調整手順の一例を示すフローチャート図である。

【図 1 5】

スレッド最適化手順の一例を示すフローチャート図である。

【図 1 6】

図 1 2 に示すスレッドのノードクラスタリング実行結果である、ラベル割り付けおよびクリティカルパスの一例を示す図である。

【図 1 7】

図 1 2 に示すスレッドのノードクラスタリング実行結果である、近さマトリクスの計算例を示す図である。

【図 1 8】

図 1 2 に示すスレッドのノードクラスタリング実行結果である、クラスタツリーの一例を示す図である。

【図 1 9】

図 1 2 に示すスレッドのノードクラスタリング実行結果におけるレジスタ・リタイミングの組合わせ例を示す図である。

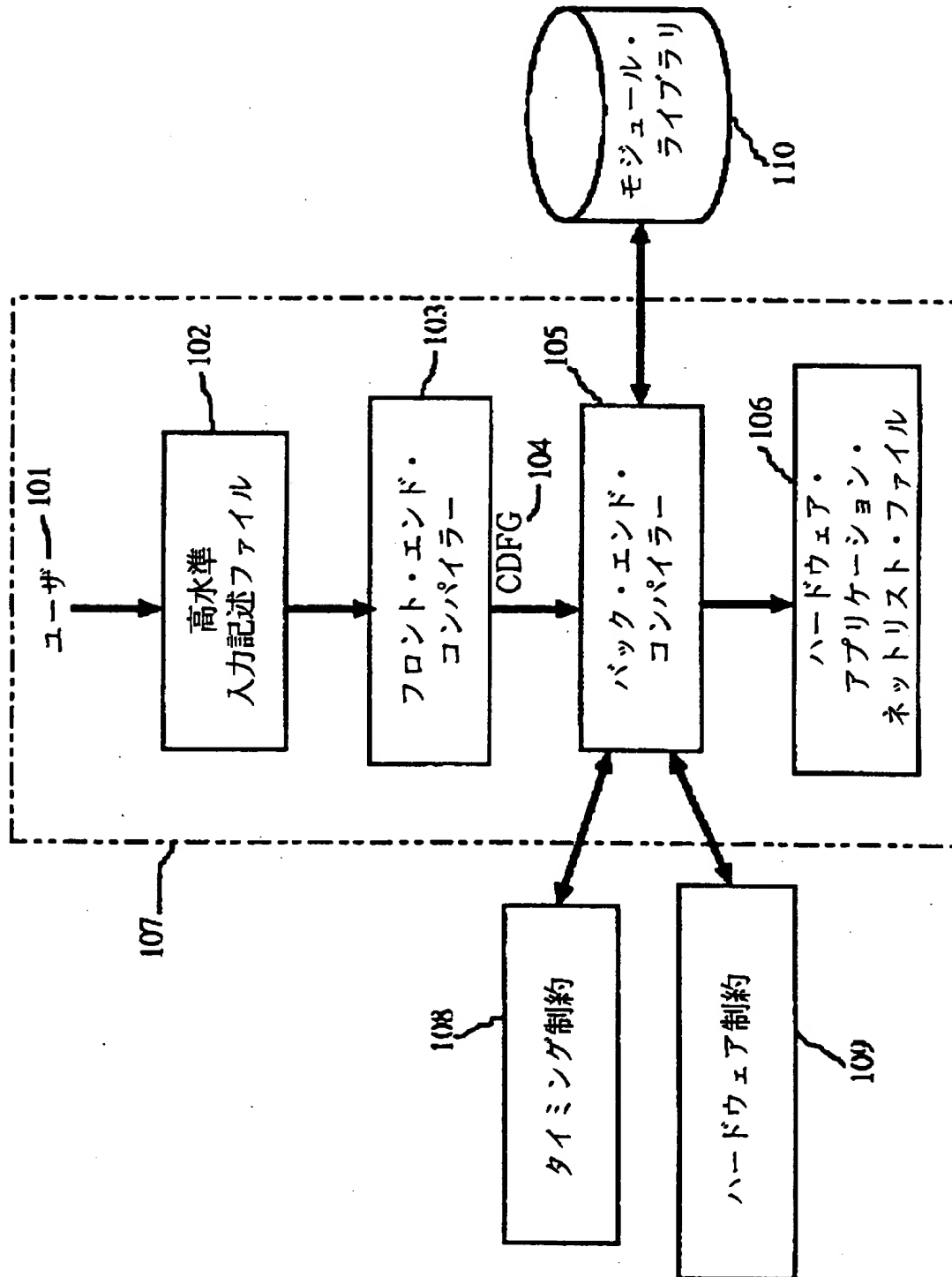
【符号の説明】

- 1 0 1 ユーザー
- 1 0 2 高水準入力記述ファイル
- 1 0 3 フロント・エンド・コンパイラー
- 1 0 5 バック・エンド・コンパイラー
- 1 0 6 ハードウェア・アプリケーション・ネットリストファイル
- 1 0 7 システム
- 1 1 0 モジュールライブラリ

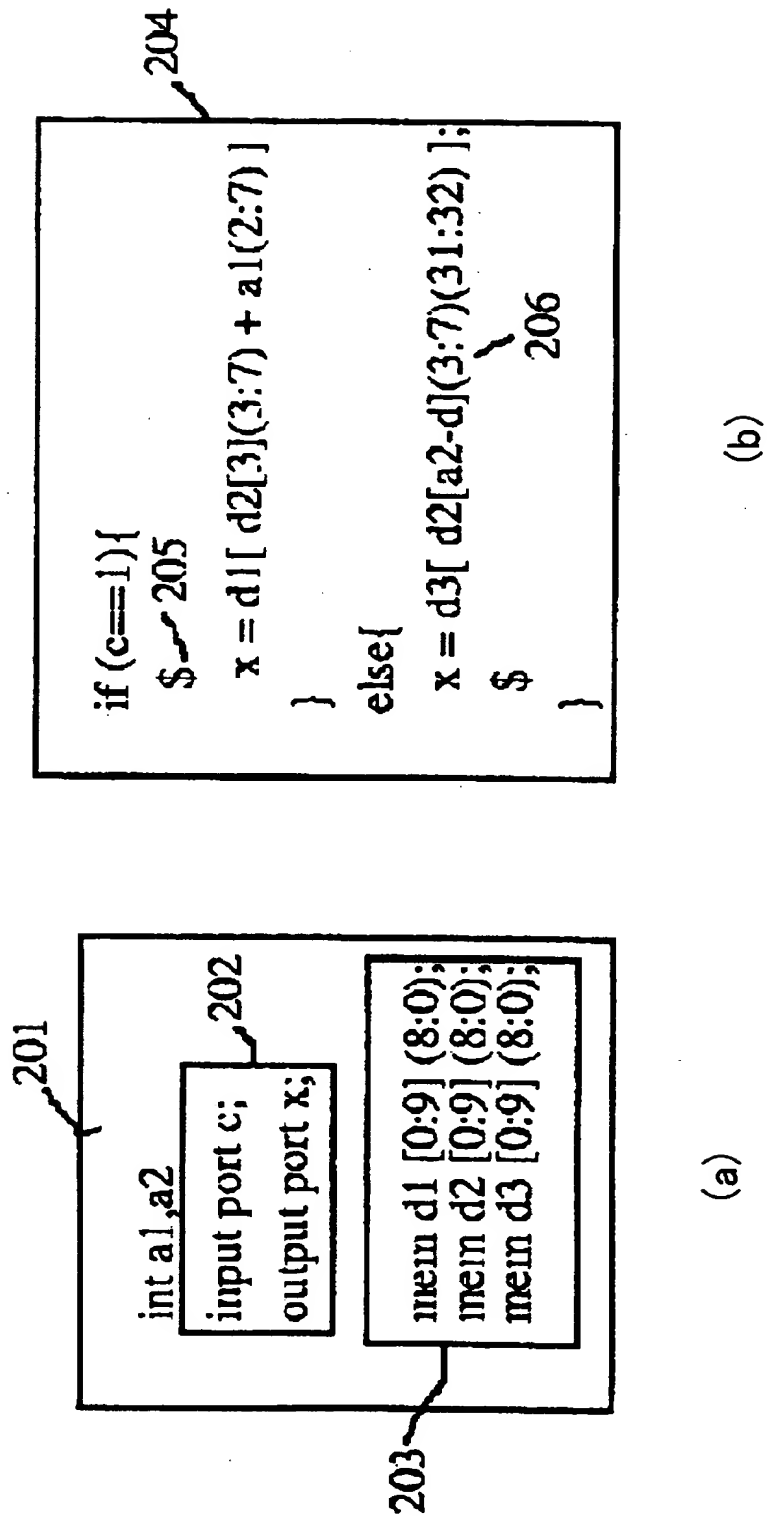
- 2 0 1、2 0 4 ハードウェア拡張
- 2 0 2 I Oポート仕様
- 2 0 3 メモリ仕様
- 2 0 5 明示状態機械挿入
- 2 0 6 ビットレベル操作
- 3 0 1 A S I C / F P G A デバイス
- 3 0 2 制御バス
- 3 0 3 データバス
- 3 0 4 埋め込みメモリ
- 3 0 5 D R L
- 3 0 6 a ~ 3 0 6 d コンテキスト
- 3 0 7 アクティブ・プラン
- 3 0 8 マルチ・チップ回路
- 3 0 9 回路
- 3 1 0 相互接続ネットワーク
- 4 0 0 汎用コンピュータ装置
- 4 0 1 図形表示モニタ
- 4 0 2 図形スクリーン
- 4 0 3 キーボード
- 4 0 4 コンピュータ・プロセッサ
- 4 0 5 記録媒体

【書類名】 図面

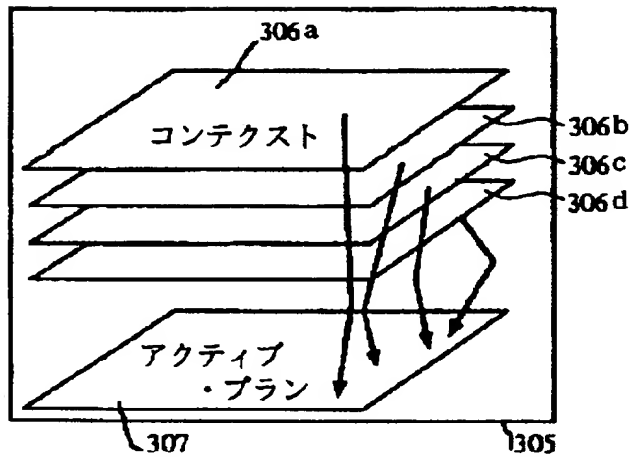
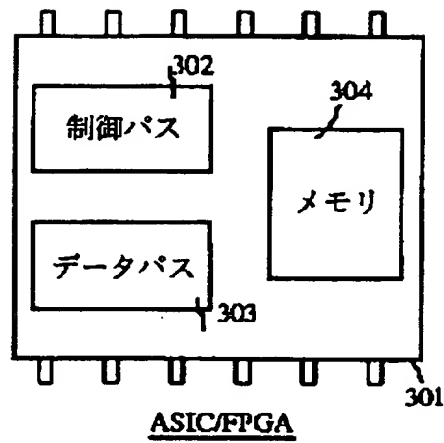
【図 1】



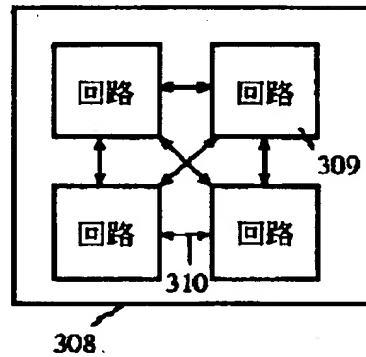
【図 2】



【図 3】

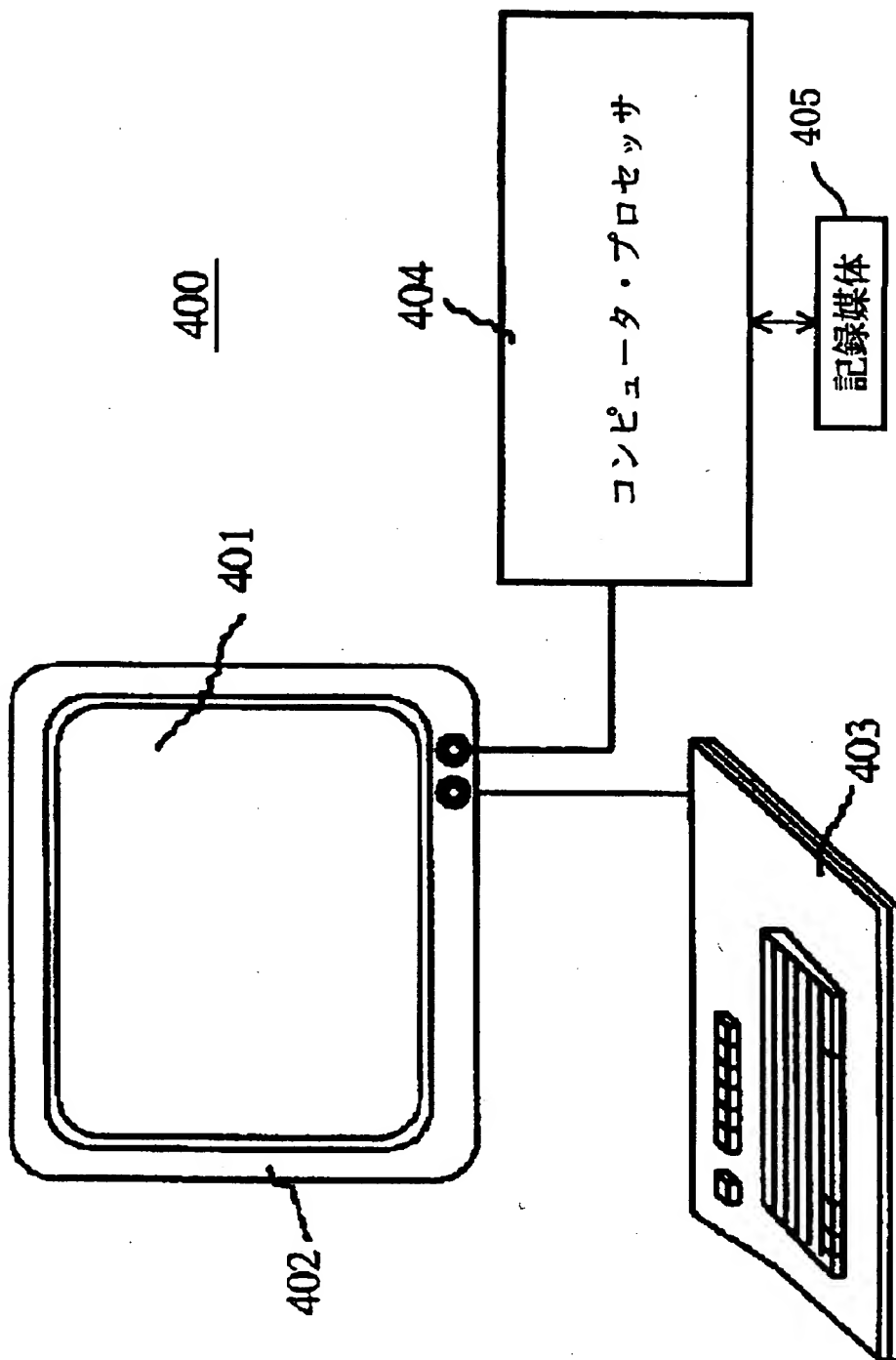


Dynamic Reconfigurable Hardware (DRL)

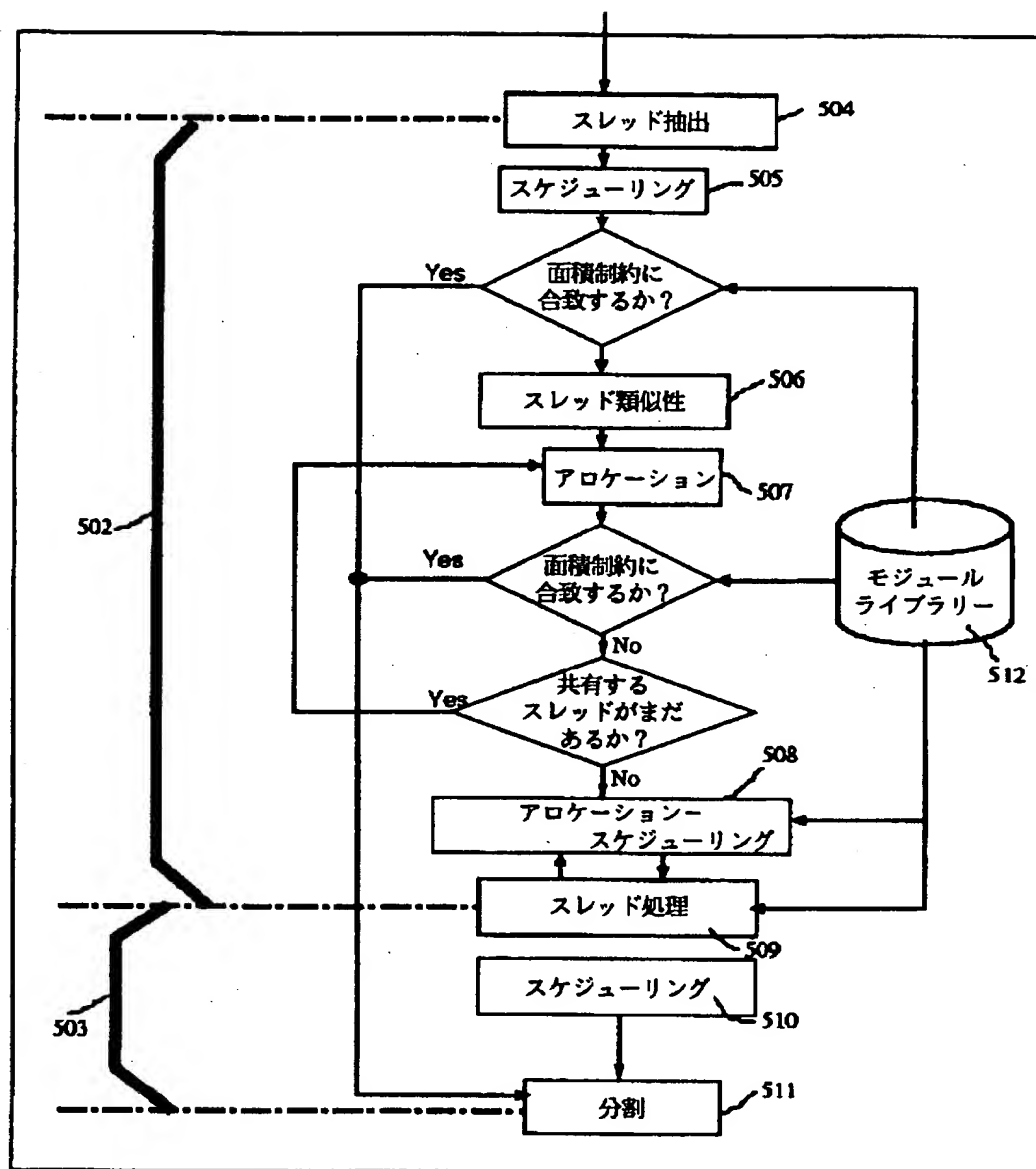


Multi-chip circuit

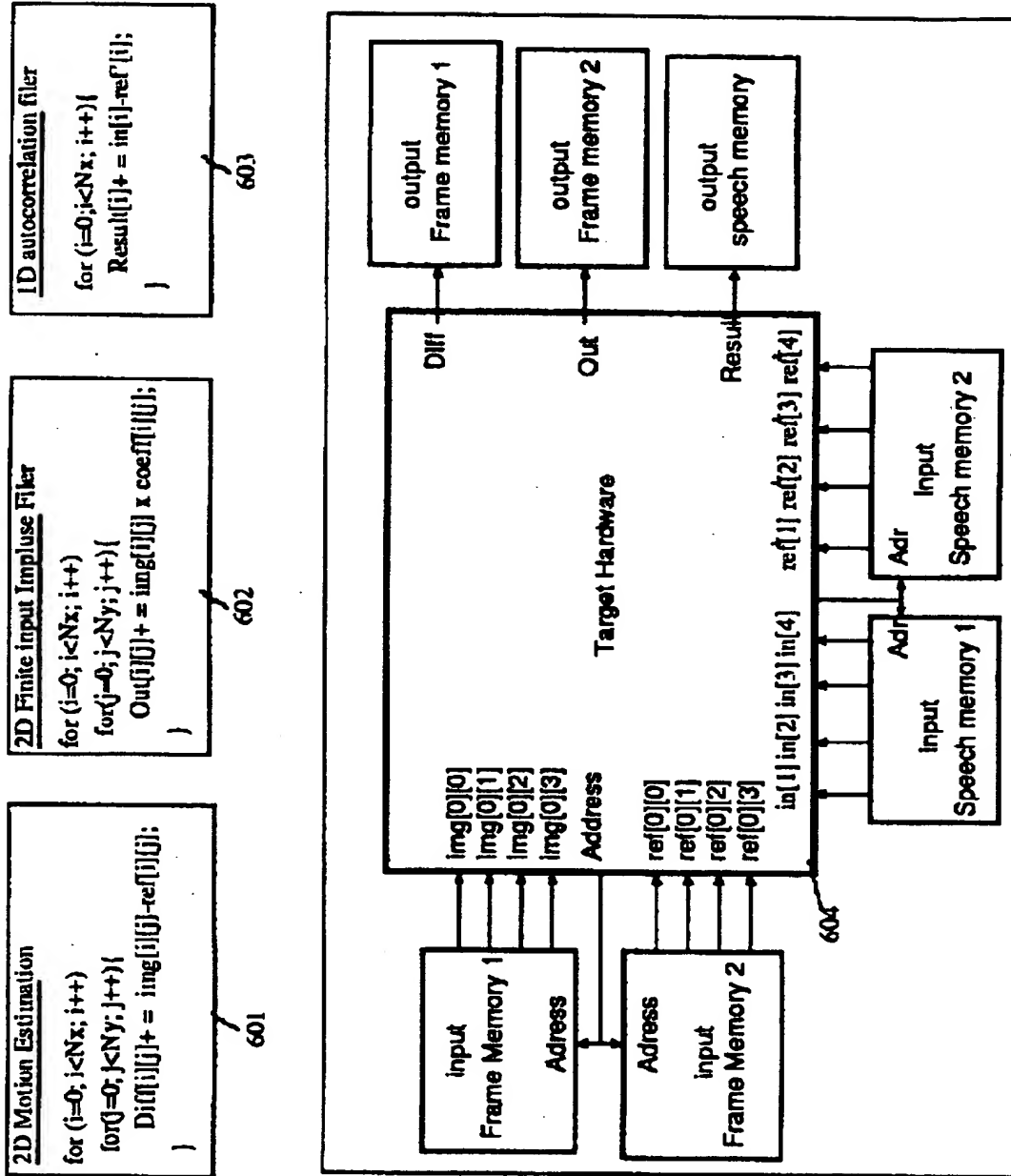
【図 4】



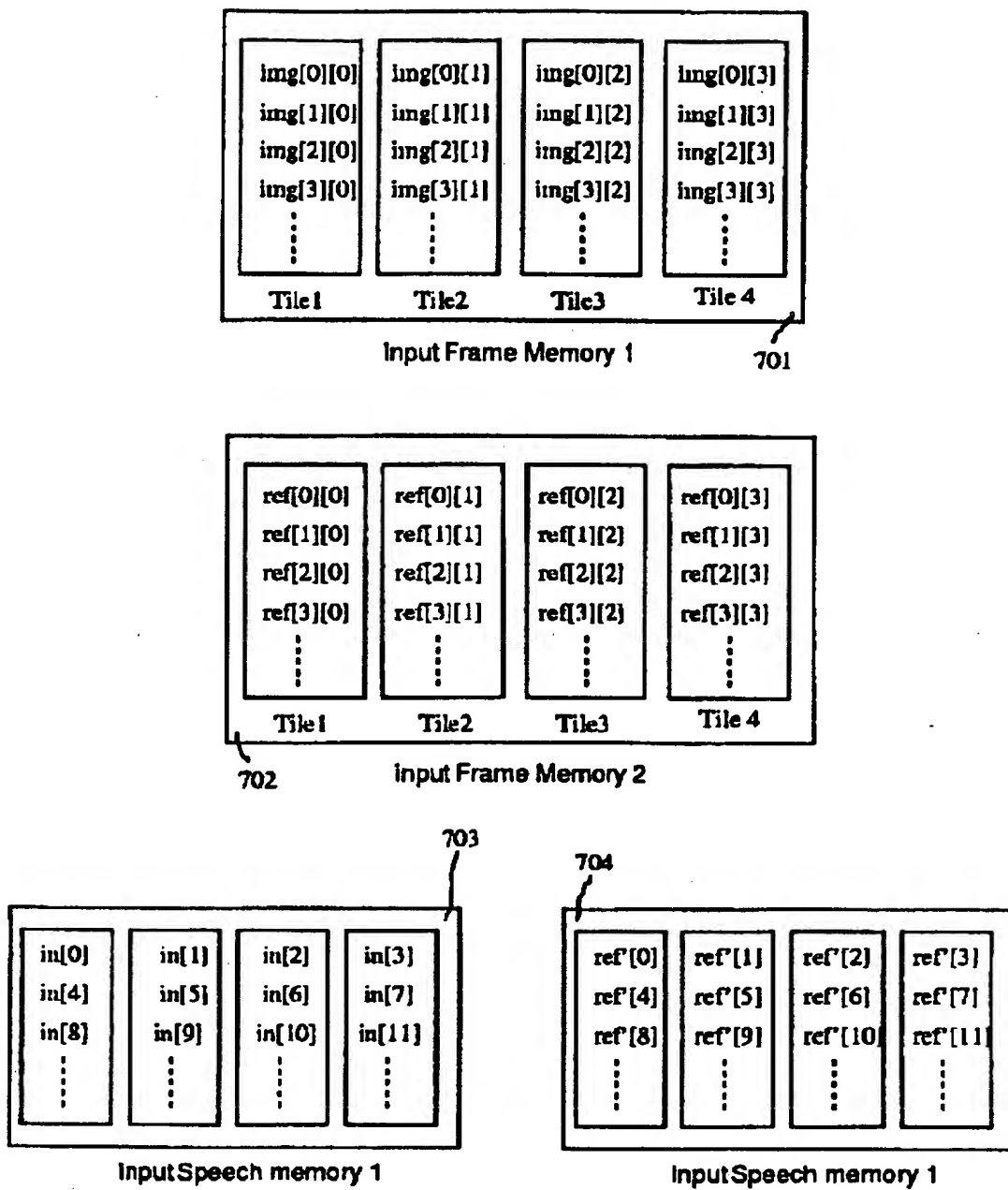
【図 5】



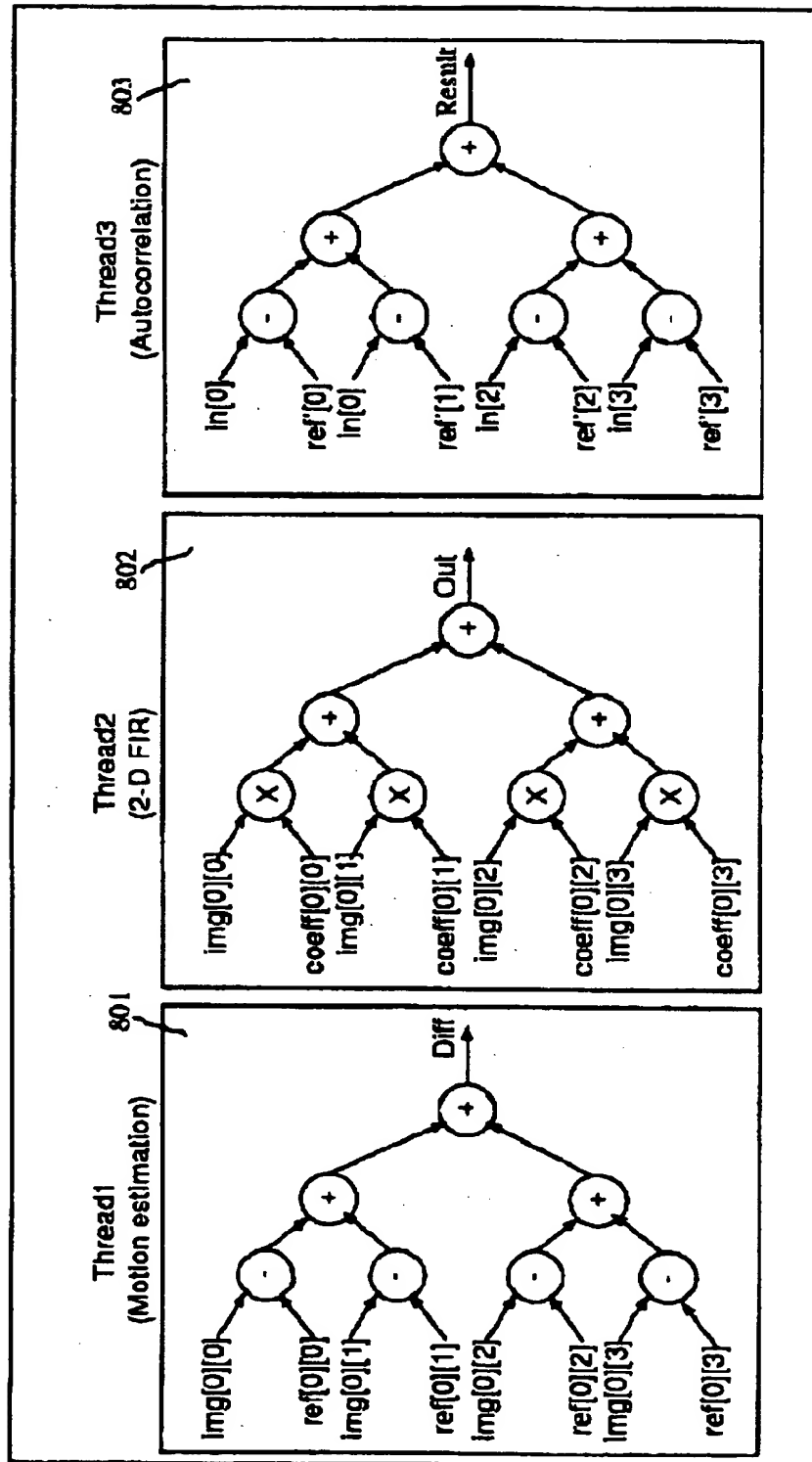
【図 6】



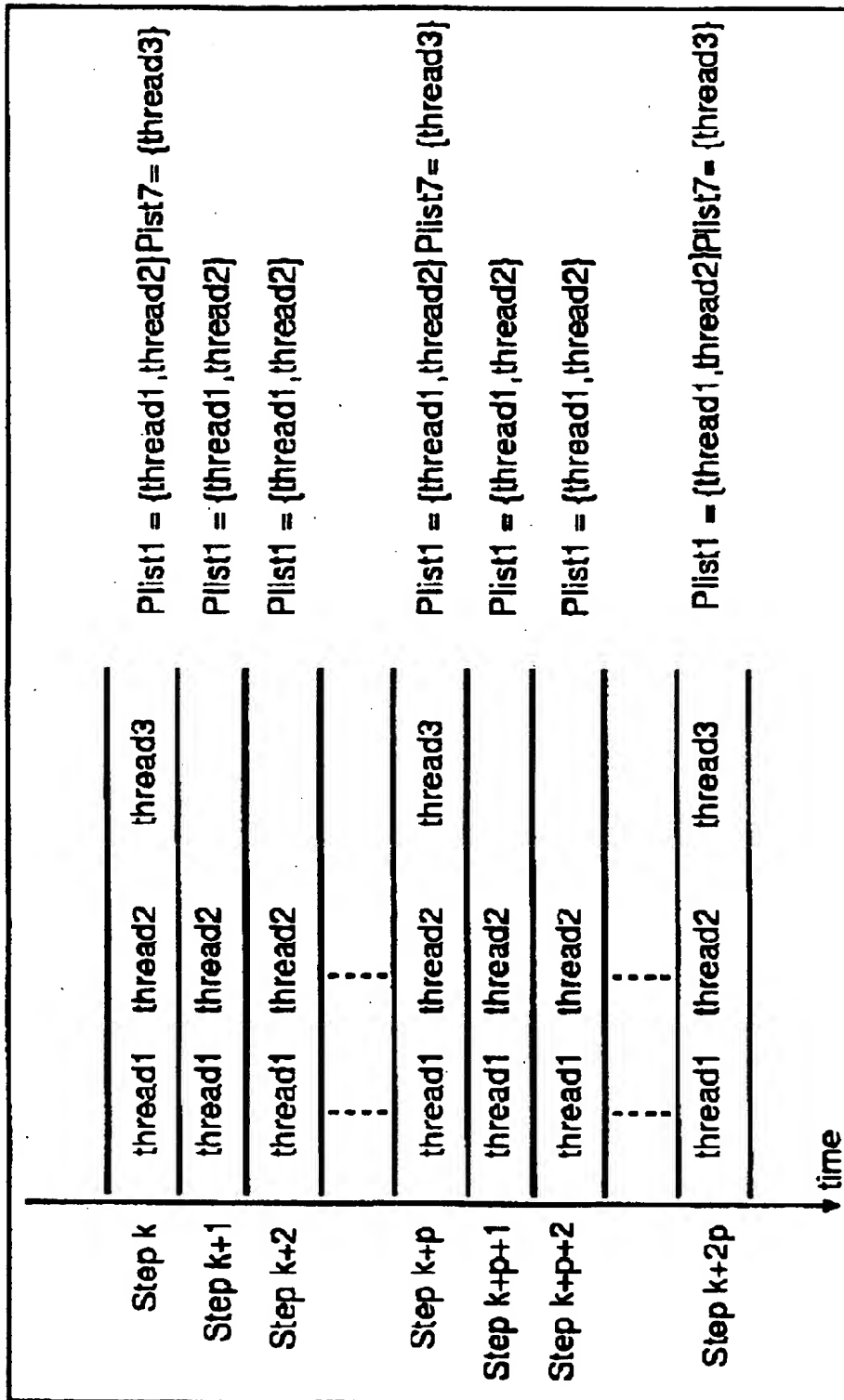
【図 7】



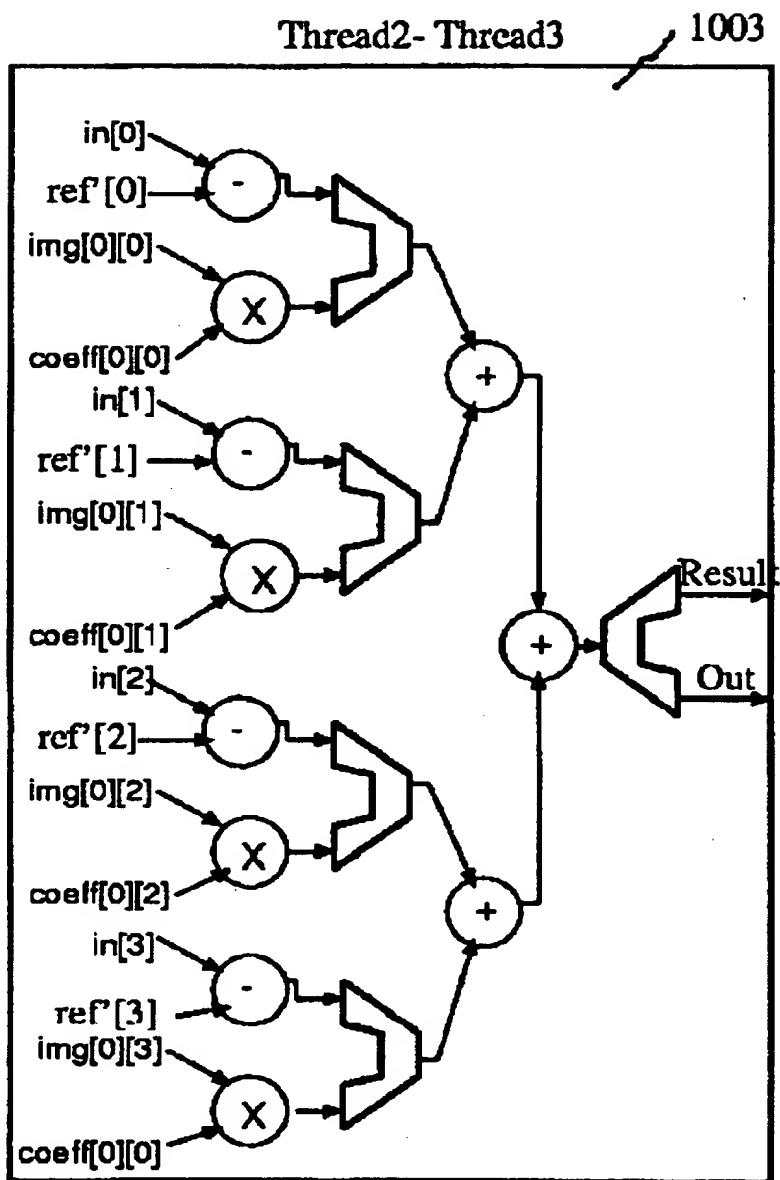
【図 8】



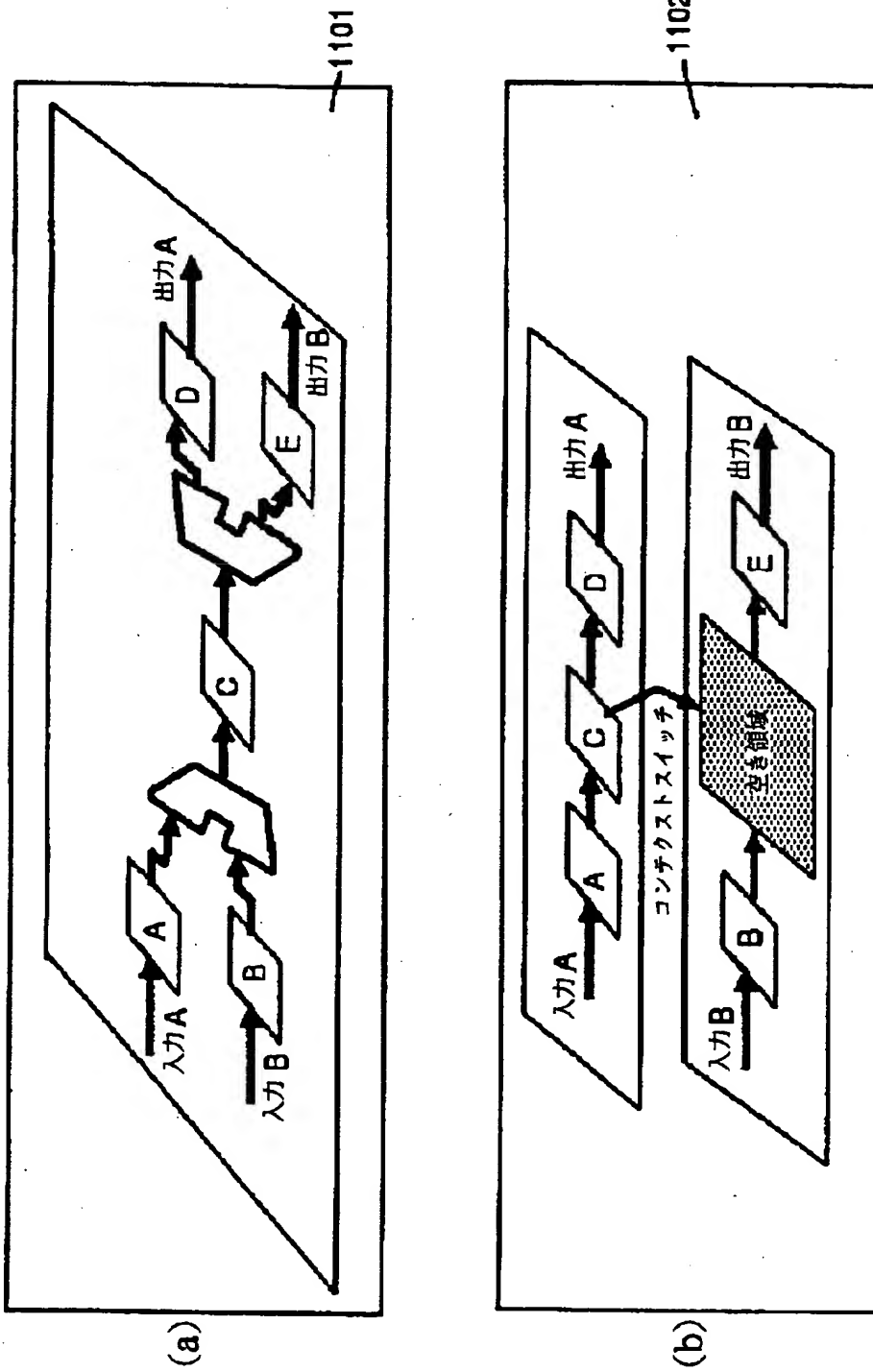
【図 9】



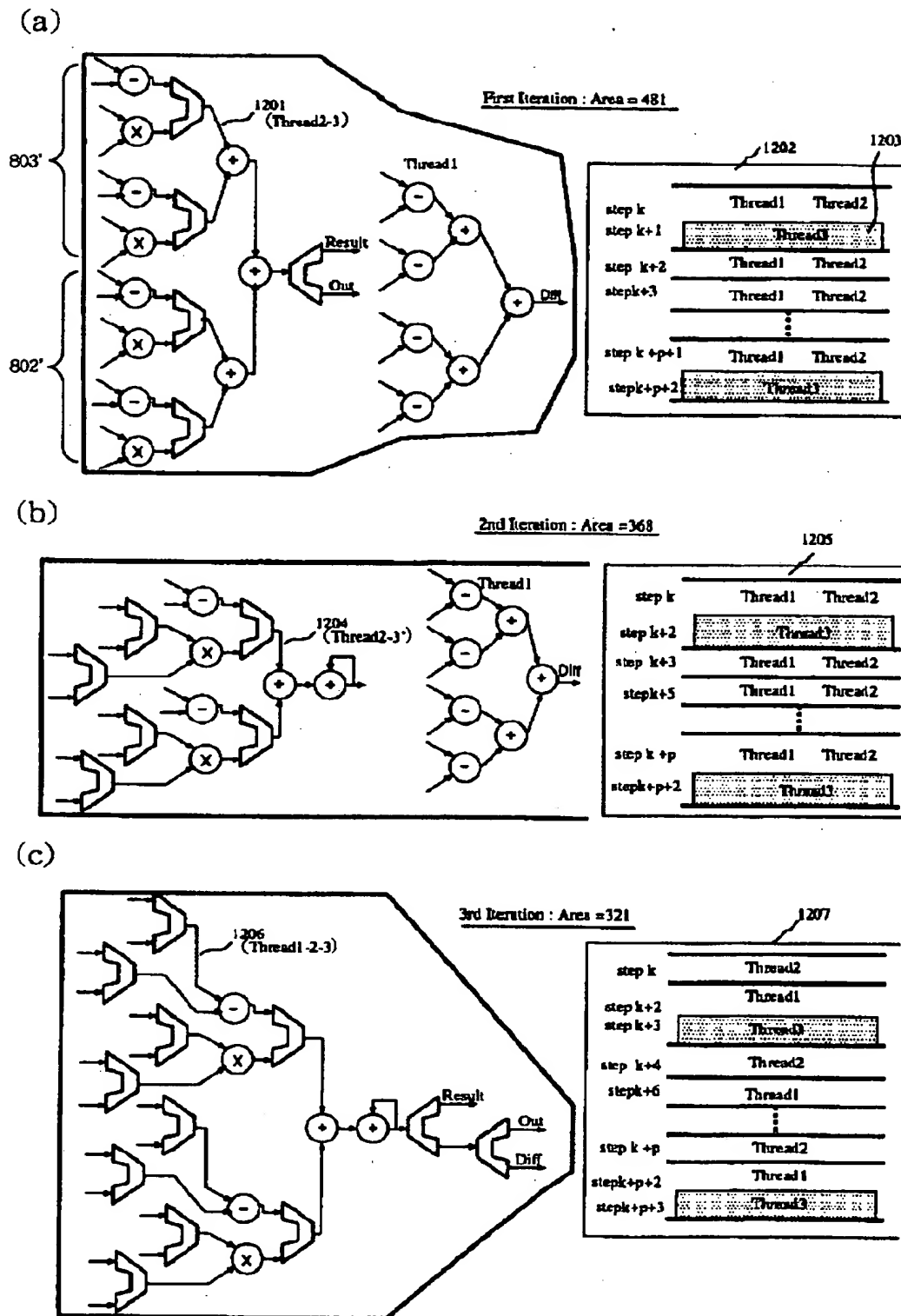
【図 1 0】



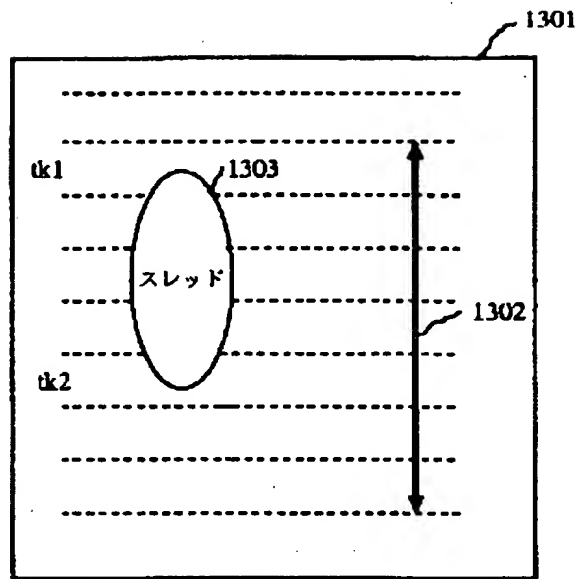
【図 1 1】



【図 1 2】

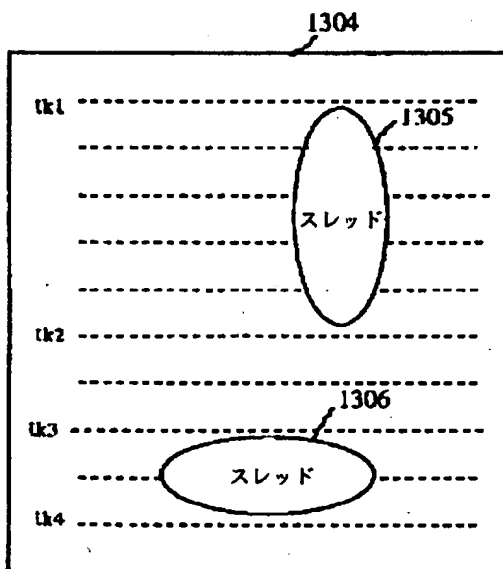


【図 1 3】



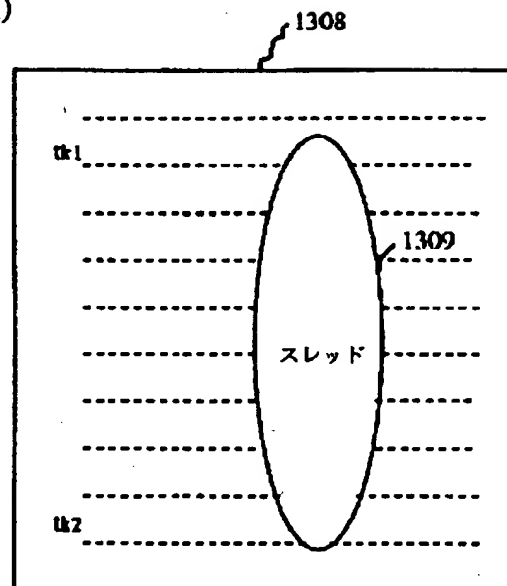
スレッド移動レンジ制約

(a)



スレッド共有制約

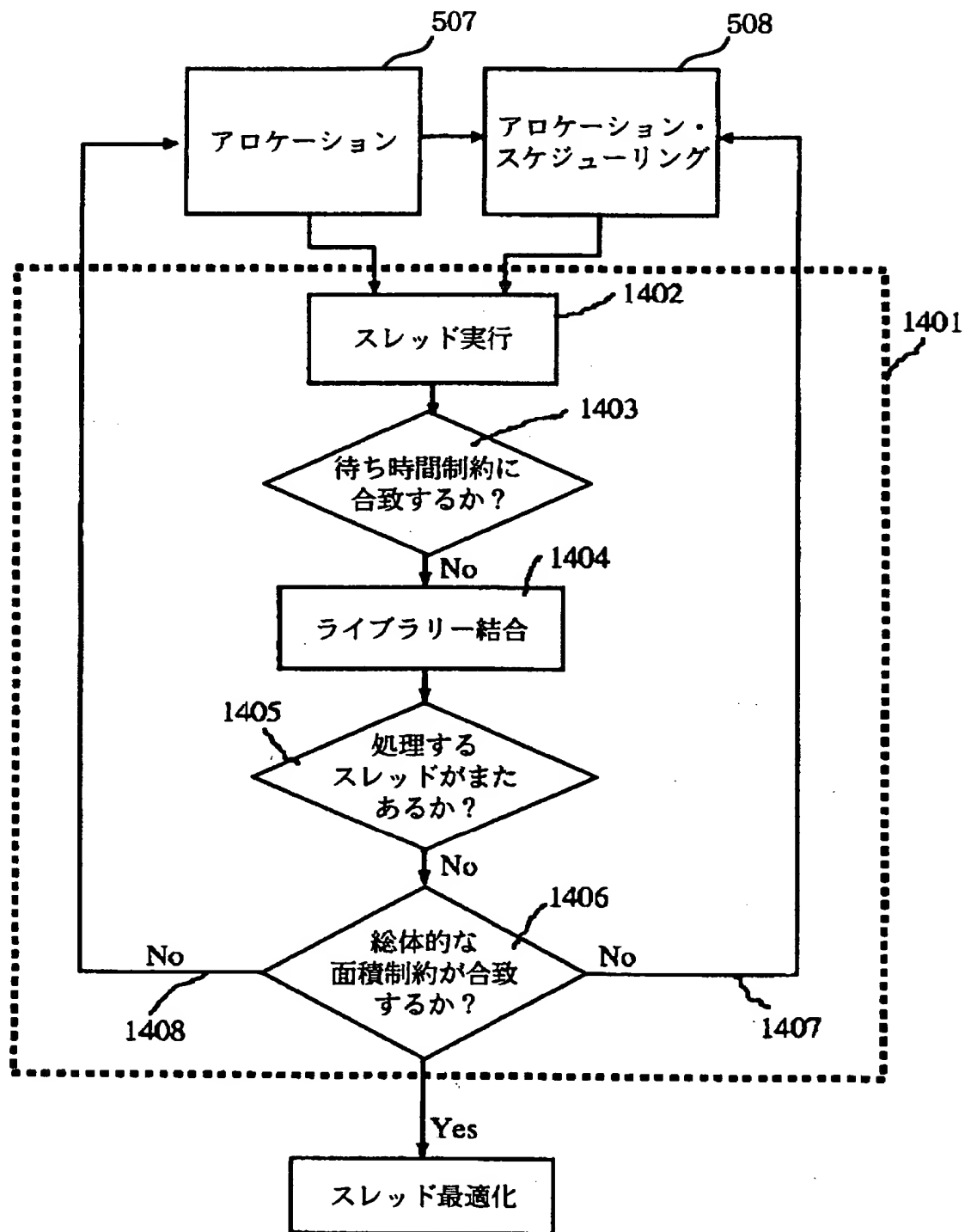
(b)



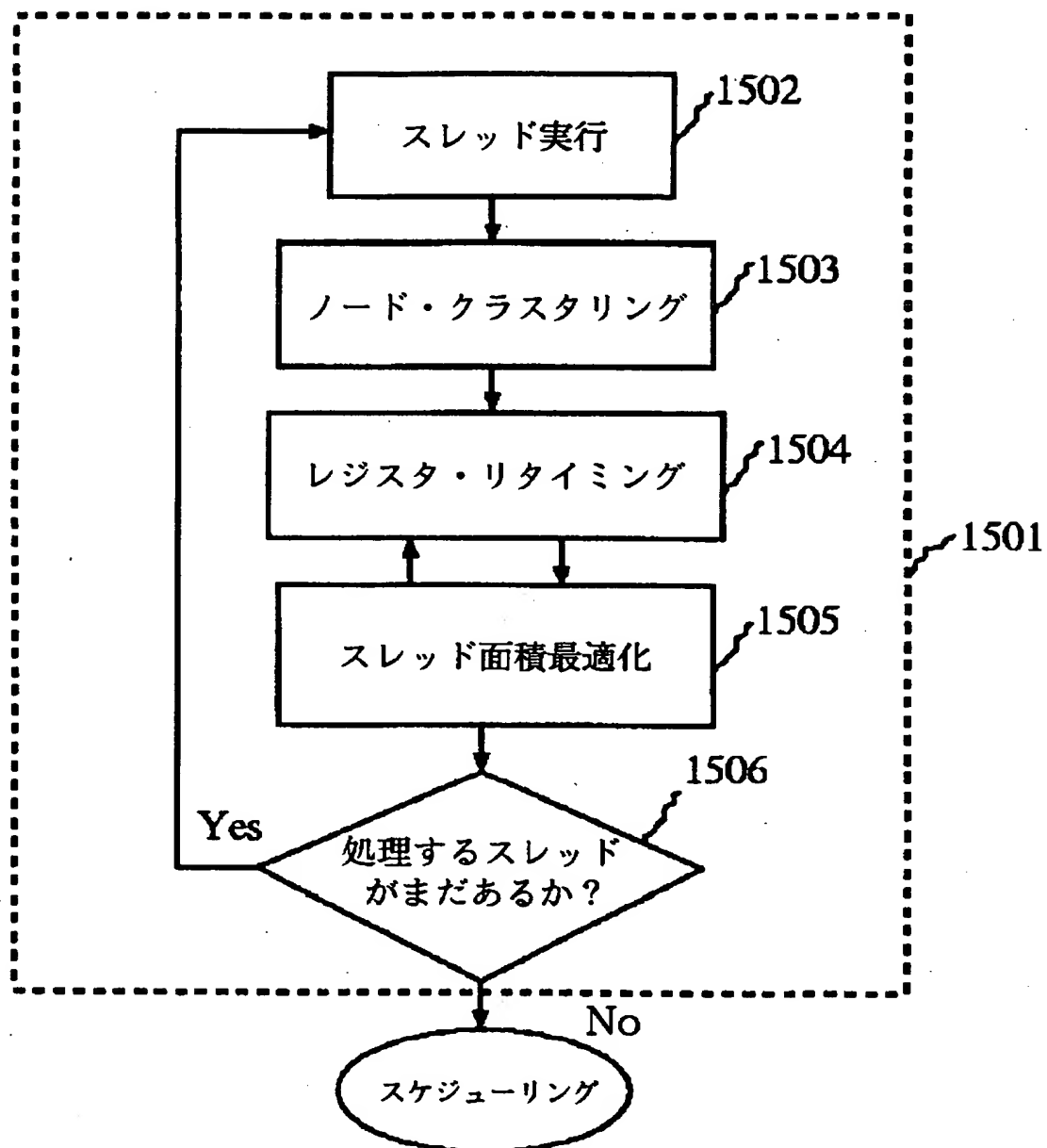
パイプライン制約

(c)

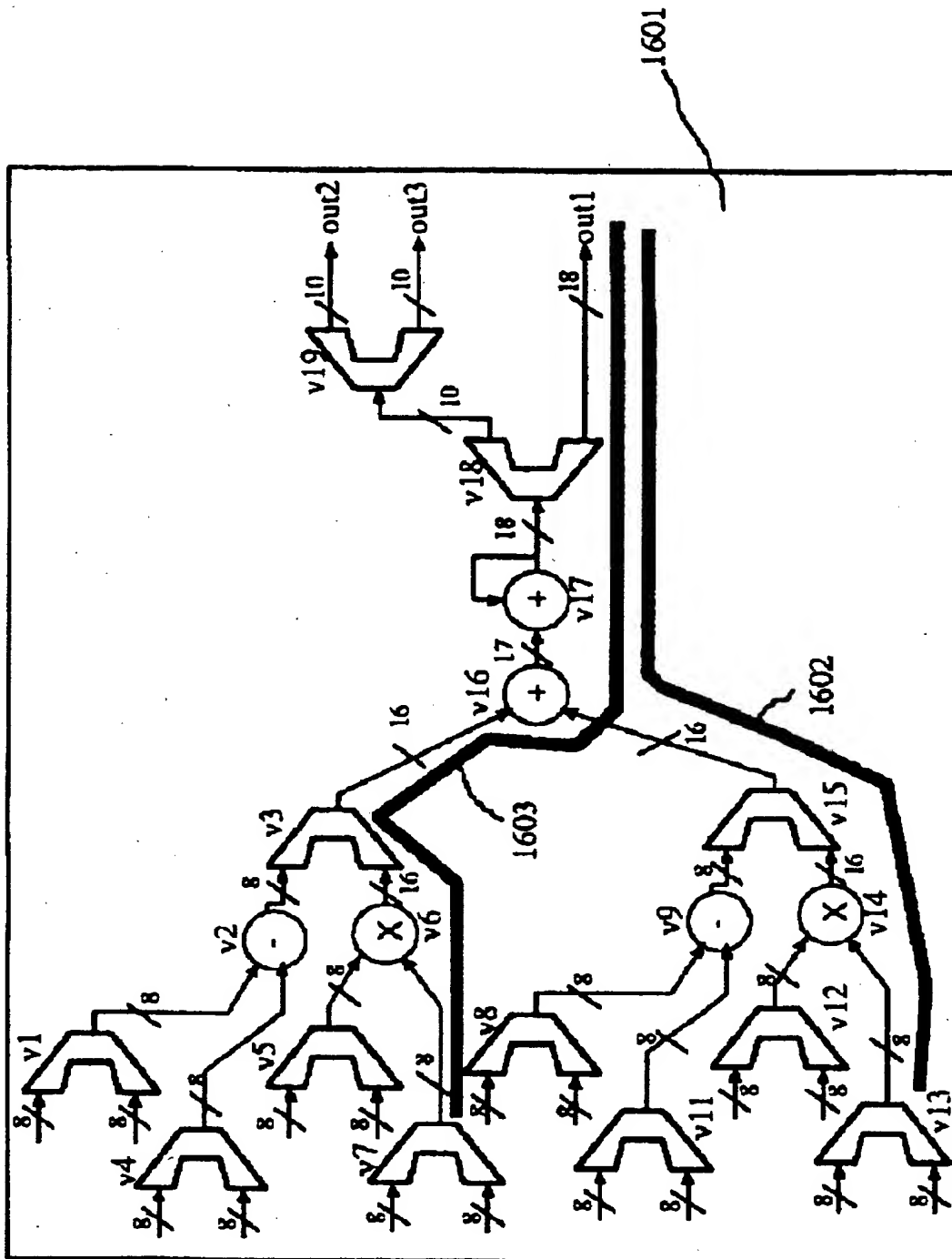
【図 1 4】



【図 1 5】



【図16】



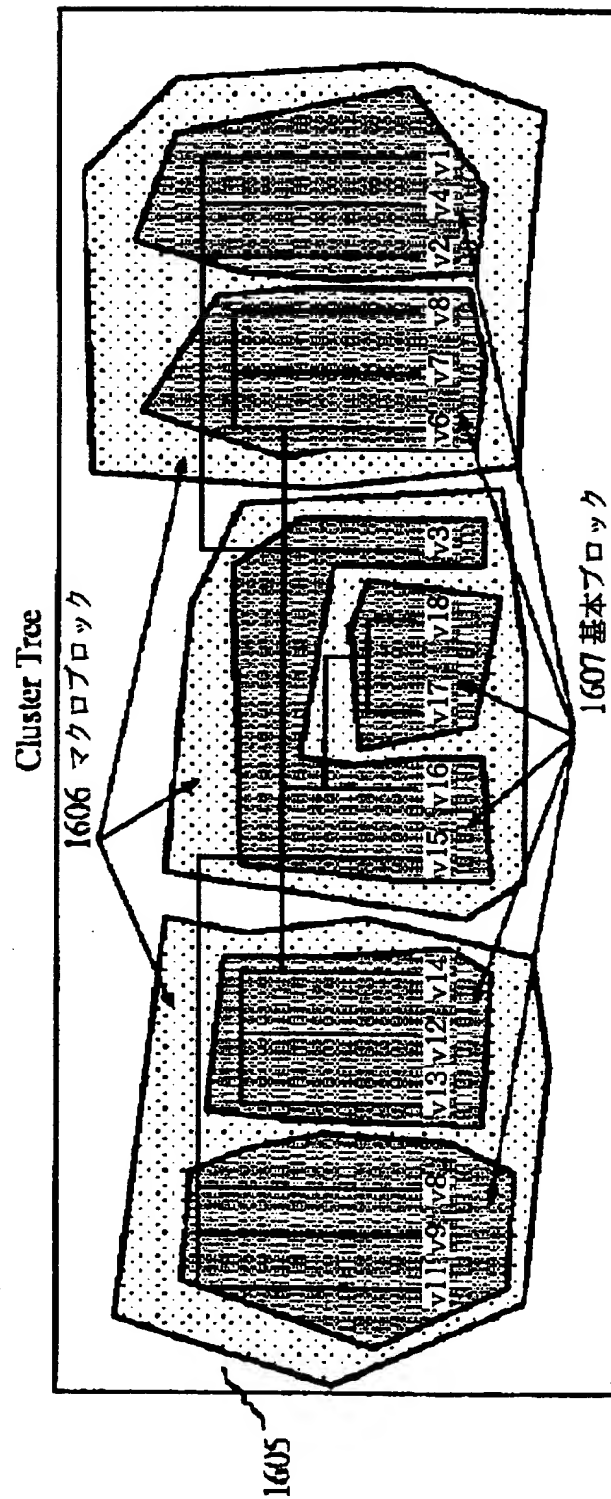
【図 17】

Closeness matrix

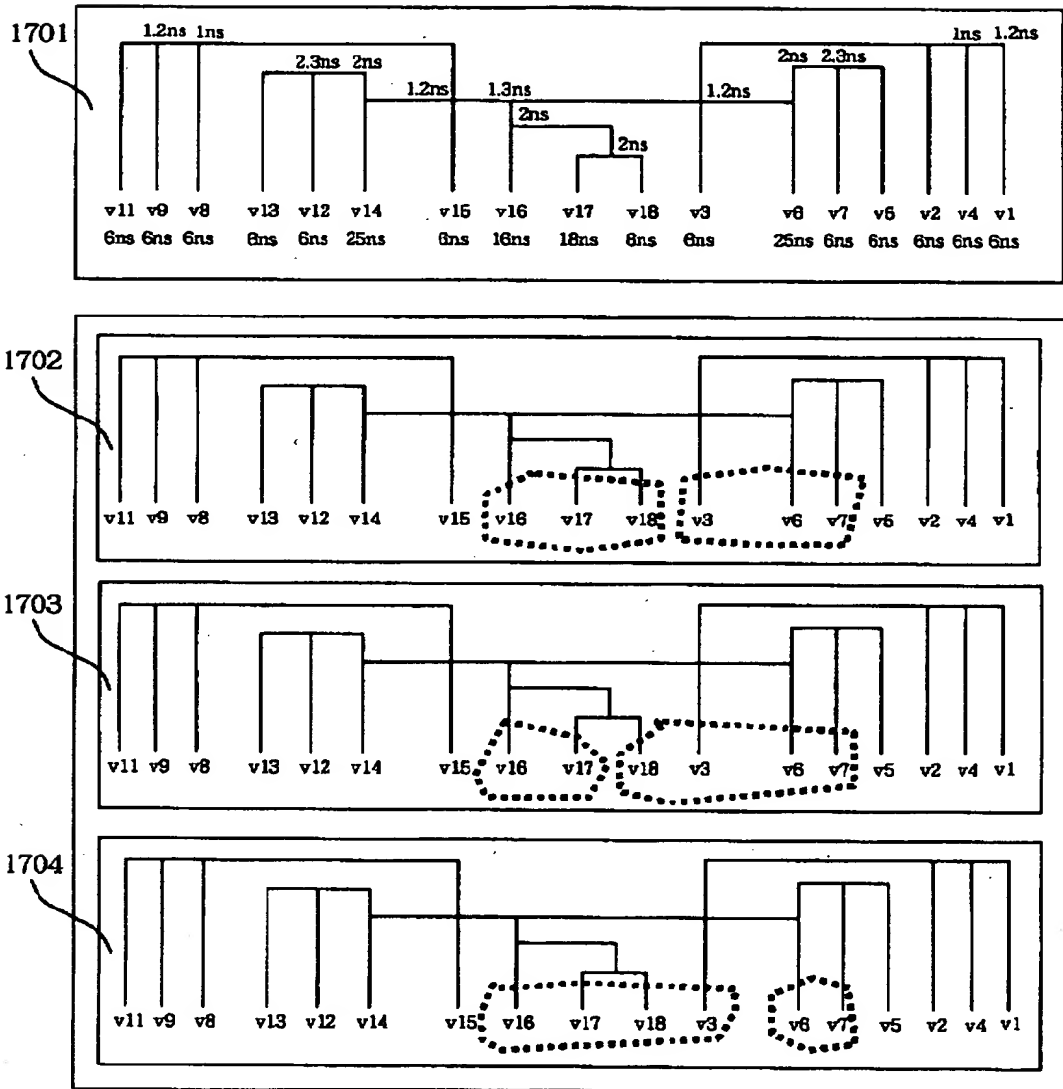
	v1	v2	v3	v4	v5	v6	v7	v8	v9	v10	v11	v12	v13	v14	v15	v16	v17	v18	v19
v1	-	8	-	-	-	-	-	-	-	-	-	-	-	-	-	-	-	-	-
v2	8	-	8	8	-	-	-	-	-	-	-	-	-	-	-	-	-	-	-
v3	-	8	-	-	-	16	-	-	-	-	-	-	-	-	-	16	-	-	-
v4	-	8	-	-	-	-	-	-	-	-	-	-	-	-	-	-	-	-	-
v5	-	-	-	-	-	8	-	-	-	-	-	-	-	-	-	-	-	-	-
v6	-	-	16	-	8	-	8	-	-	-	-	-	-	-	-	-	-	-	-
v7	-	-	-	-	-	8	-	-	-	-	-	-	-	-	-	-	-	-	-
v8	-	-	-	-	-	-	-	8	-	-	-	-	-	-	-	-	-	-	-
v9	-	-	-	-	-	-	-	8	-	8	-	-	-	-	8	-	-	-	-
v10	-	-	-	-	-	-	-	-	-	-	-	-	-	-	-	-	-	-	-
v11	-	-	-	-	-	-	-	-	-	-	-	-	-	-	-	-	-	-	-
v12	-	-	-	-	-	-	-	-	-	-	-	-	8	-	-	-	-	-	-
v13	-	-	-	-	-	-	-	-	-	-	-	-	-	8	-	-	-	-	-
v14	-	-	-	-	-	-	-	-	-	-	-	8	8	-	-	-	-	-	-
v15	-	-	-	-	-	-	-	-	8	-	-	-	-	8	-	16	-	-	-
v16	-	-	16	-	-	-	-	-	-	-	-	-	-	-	16	-	17	-	-
v17	-	-	-	-	-	-	-	-	-	-	-	-	-	-	-	17	-	18	-
v18	-	-	-	-	-	-	-	-	-	-	-	-	-	-	-	-	18	-	10
v19	-	-	-	-	-	-	-	-	-	-	-	-	-	-	-	-	-	10	-

1604

【図18】



【図 19】



【書類名】 要約書

【要約】

【課題】 プログラマに馴染みの深い高級記述言語による電子回路モデルの記述が可能で、より正確なコスト見積もりを行うことができるコンパイル方法を提供する。

【解決手段】 所望の電子回路モデルが所定の高級記述言語で記述された記述ファイル 1 0 2 を構文解析して所定のグラフ構造を有する制御データ・フロー・グラフ 1 0 4 を生成するフロント・エンド・コンパイラー 1 0 3 と、制御データ・フロー・グラフ 1 0 4 を、複数の連結されたノードの集合よりなる、特定の機能を果たすスレッドに分割し、該分割したスレッドを所定の面積制約および所定の待ち時間制約と合致するように最適化して、上記電子回路モデルに関する論理セルの数、機能、配置および配線の指定情報を得るバック・エンド・コンパイラー 1 0 5 とを含む。

【選択図】 図 1

出 願 人 履 歴 情 報

識別番号 [000004237]

1. 変更年月日 1990年 8月29日
[変更理由] 新規登録
住 所 東京都港区芝五丁目7番1号
氏 名 日本電気株式会社